Ein und Ausgabe: Farbmetrisches Drucker-Reflektiv-System FRS09_92, L*=09_92 für relativen CIELAB-Buntton $h^* = lab^*h^* = h_{lab}/360 = 0.451$ $u^*_\epsilon = g00b$

Daten für jede Farbe:
*lab*ich** und *lab*icu**
Buntontexte:
$u^*_\epsilon = g00b$ $u^*_d = f23c$
Kontrastreduzierungsfaktor:
$c_R = 1.0$
Dreiecks-Helligkeit t^*

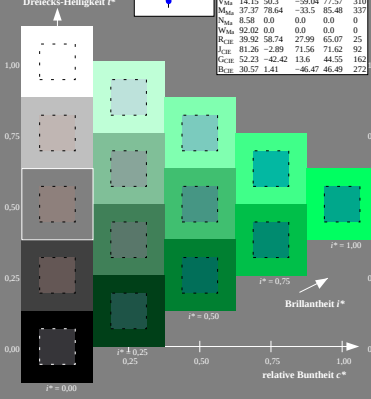

Daten für Maximalfarbe (Ma):
*LAB*LAB**$_{Ma}$: 48 −49 16
*LAB*LCH**$_{Ma}$: 48 52 162
*lab*rgb**$_{Ma}$: 0.0 1.0 0.0
*lab*olv**$_{Ma}$: 0.0 1.0 0.23
Dreiecks-Helligkeit t^*

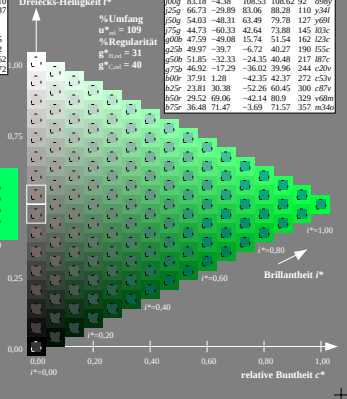

FRS09_92a; adaptierte CIELAB-Daten

	L^*_{CIE}	a^*	b^*	C^*_{dca}	h^*_{dca}
O_{Ma}	35.06	60.0	44.0	74.4	36
Y_{Ma}	83.77	−5.17	109.32	109.44	93
L_{Ma}	44.13	−62.67	48.24	79.09	142
C_{Ma}	52.66	−29.14	−31.99	43.27	228
V_{Ma}	14.15	50.3	−59.04	77.57	310
M_{Ma}	37.37	78.64	−33.5	85.48	337
N_{Ma}	8.58	0.0	0.0	0.0	0
W_{Ma}	92.02	0.0	0.0	0.0	0
R_{CIE}	39.92	58.74	27.99	65.07	25
I_{CIE}	81.26	−2.89	71.56	71.62	92
C_{CIE}	52.23	−42.42	13.6	44.55	162
B_{CIE}	30.57	1.41	−46.47	46.49	272

	L^*_{CIE}	a^*	b^*	C^*_{dca}	h^*_{dca}	u^*_d
r00	35.47	63.32	30.17	70.15	25	m81c
r25j	39.12	54.56	49.45	73.64	42	o10y
r50j	50.64	39.15	64.89	75.79	59	o40y
r75j	64.01	21.26	82.83	85.52	76	o60y
y00g	83.18	−4.38	108.53	108.62	92	o98y
y25g	66.73	−29.89	83.06	88.28	110	y34l
y50g	54.03	−48.31	63.49	79.78	127	y69l
y75g	44.73	−60.33	42.64	73.88	145	l03c
g00b	47.59	−49.08	15.74	51.54	162	l23c
g25b	49.97	−39.7	−6.72	40.27	190	l55c
g50b	51.85	−32.33	−24.35	40.48	217	l87c
g75b	46.92	−17.29	−36.02	39.96	244	c20v
b00r	37.91	1.28	−42.35	42.37	272	c53v
b25r	23.81	30.38	−52.26	60.45	300	c87v
b50r	29.52	69.06	−42.14	80.9	329	v68m
b75r	36.48	71.47	−3.69	71.57	357	m34o

Ein und Ausgabe: Farbmetrisches Drucker-Reflektiv-System FRS09_92, L*=09_92 für relativen CIELAB-Buntton $h^* = lab^*h^* = h_{lab}/360 = 0.527$ $u^*_\epsilon = g25b$

Daten für jede Farbe:
*lab*ich** und *lab*icu**
Buntontexte:
$u^*_\epsilon = g25b$ $u^*_d = f55c$
Kontrastreduzierungsfaktor:
$c_R = 1.0$
Dreiecks-Helligkeit t^*

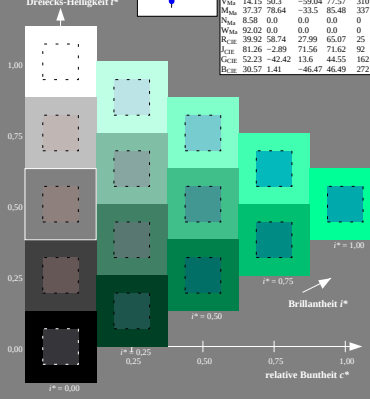

Daten für Maximalfarbe (Ma):
*LAB*LAB**$_{Ma}$: 50 −40 −7
*LAB*LCH**$_{Ma}$: 50 40 189
*lab*rgb**$_{Ma}$: 0.0 1.0 0.5
*lab*olv**$_{Ma}$: 0.0 1.0 0.55
Dreiecks-Helligkeit t^*

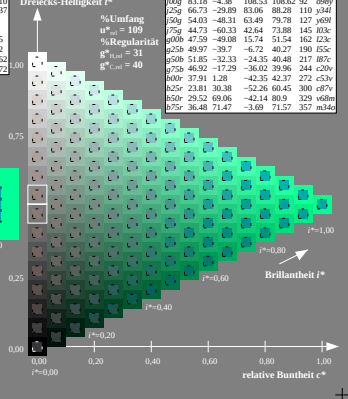

FRS09_92a; adaptierte CIELAB-Daten

	L^*_{CIE}	a^*	b^*	C^*_{dca}	h^*_{dca}
O_{Ma}	35.06	60.0	44.0	74.4	36
Y_{Ma}	83.77	−5.17	109.32	109.44	93
L_{Ma}	44.13	−62.67	48.24	79.09	142
C_{Ma}	52.66	−29.14	−31.99	43.27	228
V_{Ma}	14.15	50.3	−59.04	77.57	310
M_{Ma}	37.37	78.64	−33.5	85.48	337
N_{Ma}	8.58	0.0	0.0	0.0	0
W_{Ma}	92.02	0.0	0.0	0.0	0
R_{CIE}	39.92	58.74	27.99	65.07	25
I_{CIE}	81.26	−2.89	71.56	71.62	92
C_{CIE}	52.23	−42.42	13.6	44.55	162
B_{CIE}	30.57	1.41	−46.47	46.49	272

	L^*_{CIE}	a^*	b^*	C^*_{dca}	h^*_{dca}	u^*_d
r00	35.47	63.32	30.17	70.15	25	m81c
r25j	39.12	54.56	49.45	73.64	42	o10y
r50j	50.64	39.15	64.89	75.79	59	o40y
r75j	64.01	21.26	82.83	85.52	76	o60y
y00g	83.18	−4.38	108.53	108.62	92	o98y
y25g	66.73	−29.89	83.06	88.28	110	y34l
y50g	54.03	−48.31	63.49	79.78	127	y69l
y75g	44.73	−60.33	42.64	73.88	145	l03c
g00b	47.59	−49.08	15.74	51.54	162	l23c
g25b	49.97	−39.7	−6.72	40.27	190	l55c
g50b	51.85	−32.33	−24.35	40.48	217	l87c
g75b	46.92	−17.29	−36.02	39.96	244	c20v
b00r	37.91	1.28	−42.35	42.37	272	c53v
b25r	23.81	30.38	−52.26	60.45	300	c87v
b50r	29.52	69.06	−42.14	80.9	329	v68m
b75r	36.48	71.47	−3.69	71.57	357	m34o

Ein und Ausgabe: Farbmetrisches Drucker-Reflektiv-System FRS09_92, L*=09_92 für relativen CIELAB-Buntton $h^* = lab^*h^* = h_{lab}/360 = 0.603$ $u^*_\epsilon = g50b$

Daten für jede Farbe:
*lab*ich** und *lab*icu**
Buntontexte:
$u^*_\epsilon = g50b$ $u^*_d = l87c$
Kontrastreduzierungsfaktor:
$c_R = 1.0$
Dreiecks-Helligkeit t^*

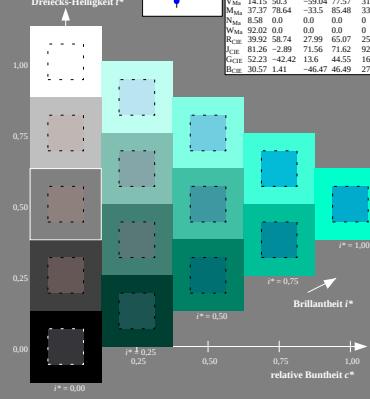

Daten für Maximalfarbe (Ma):
*LAB*LAB**$_{Ma}$: 52 −32 −24
*LAB*LCH**$_{Ma}$: 52 40 216
*lab*rgb**$_{Ma}$: 0.0 1.0 1.0
*lab*olv**$_{Ma}$: 0.0 1.0 0.87
Dreiecks-Helligkeit t^*

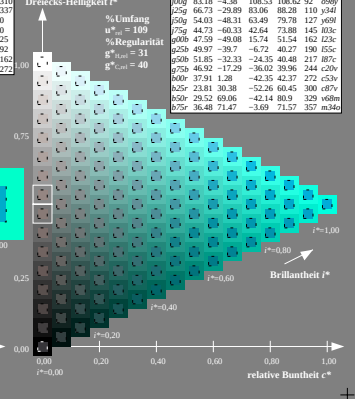

FRS09_92a; adaptierte CIELAB-Daten

	L^*_{CIE}	a^*	b^*	C^*_{dca}	h^*_{dca}
O_{Ma}	35.06	60.0	44.0	74.4	36
Y_{Ma}	83.77	−5.17	109.32	109.44	93
L_{Ma}	44.13	−62.67	48.24	79.09	142
C_{Ma}	52.66	−29.14	−31.99	43.27	228
V_{Ma}	14.15	50.3	−59.04	77.57	310
M_{Ma}	37.37	78.64	−33.5	85.48	337
N_{Ma}	8.58	0.0	0.0	0.0	0
W_{Ma}	92.02	0.0	0.0	0.0	0
R_{CIE}	39.92	58.74	27.99	65.07	25
I_{CIE}	81.26	−2.89	71.56	71.62	92
C_{CIE}	52.23	−42.42	13.6	44.55	162
B_{CIE}	30.57	1.41	−46.47	46.49	272

	L^*_{CIE}	a^*	b^*	C^*_{dca}	h^*_{dca}	u^*_d
r00	35.47	63.32	30.17	70.15	25	m81c
r25j	39.12	54.56	49.45	73.64	42	o10y
r50j	50.64	39.15	64.89	75.79	59	o40y
r75j	64.01	21.26	82.83	85.52	76	o60y
y00g	83.18	−4.38	108.53	108.62	92	o98y
y25g	66.73	−29.89	83.06	88.28	110	y34l
y50g	54.03	−48.31	63.49	79.78	127	y69l
y75g	44.73	−60.33	42.64	73.88	145	l03c
g00b	47.59	−49.08	15.74	51.54	162	l23c
g25b	49.97	−39.7	−6.72	40.27	190	l55c
g50b	51.85	−32.33	−24.35	40.48	217	l87c
g75b	46.92	−17.29	−36.02	39.96	244	c20v
b00r	37.91	1.28	−42.35	42.37	272	c53v
b25r	23.81	30.38	−52.26	60.45	300	c87v
b50r	29.52	69.06	−42.14	80.9	329	v68m
b75r	36.48	71.47	−3.69	71.57	357	m34o

Ein und Ausgabe: Farbmetrisches Drucker-Reflektiv-System FRS09_92, L*=09_92 für relativen CIELAB-Buntton $h^* = lab^*h^* = h_{lab}/360 = 0.679$ $u^*_\epsilon = g75b$

Daten für jede Farbe:
*lab*ich** und *lab*icu**
Buntontexte:
$u^*_\epsilon = g75b$ $u^*_d = c20v$
Kontrastreduzierungsfaktor:
$c_R = 1.0$
Dreiecks-Helligkeit t^*

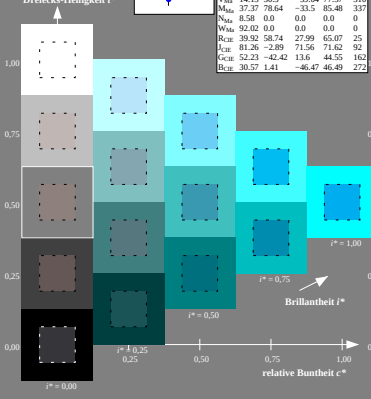

Daten für Maximalfarbe (Ma):
*LAB*LAB**$_{Ma}$: 47 −17 −36
*LAB*LCH**$_{Ma}$: 47 40 244
*lab*rgb**$_{Ma}$: 0.0 0.5 1.0
*lab*olv**$_{Ma}$: 0.0 0.8 1.0
Dreiecks-Helligkeit t^*

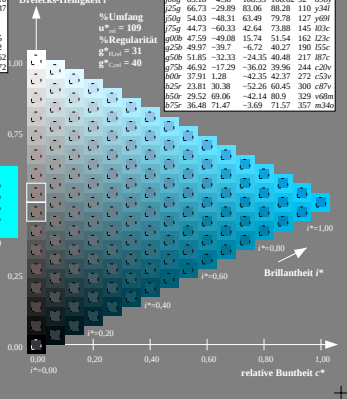

FRS09_92a; adaptierte CIELAB-Daten

	L^*_{CIE}	a^*	b^*	C^*_{dca}	h^*_{dca}
O_{Ma}	35.06	60.0	44.0	74.4	36
Y_{Ma}	83.77	−5.17	109.32	109.44	93
L_{Ma}	44.13	−62.67	48.24	79.09	142
C_{Ma}	52.66	−29.14	−31.99	43.27	228
V_{Ma}	14.15	50.3	−59.04	77.57	310
M_{Ma}	37.37	78.64	−33.5	85.48	337
N_{Ma}	8.58	0.0	0.0	0.0	0
W_{Ma}	92.02	0.0	0.0	0.0	0
R_{CIE}	39.92	58.74	27.99	65.07	25
I_{CIE}	81.26	−2.89	71.56	71.62	92
C_{CIE}	52.23	−42.42	13.6	44.55	162
B_{CIE}	30.57	1.41	−46.47	46.49	272

	L^*_{CIE}	a^*	b^*	C^*_{dca}	h^*_{dca}	u^*_d
r00	35.47	63.32	30.17	70.15	25	m81c
r25j	39.12	54.56	49.45	73.64	42	o10y
r50j	50.64	39.15	64.89	75.79	59	o40y
r75j	64.01	21.26	82.83	85.52	76	o60y
y00g	83.18	−4.38	108.53	108.62	92	o98y
y25g	66.73	−29.89	83.06	88.28	110	y34l
y50g	54.03	−48.31	63.49	79.78	127	y69l
y75g	44.73	−60.33	42.64	73.88	145	l03c
g00b	47.59	−49.08	15.74	51.54	162	l23c
g25b	49.97	−39.7	−6.72	40.27	190	l55c
g50b	51.85	−32.33	−24.35	40.48	217	l87c
g75b	46.92	−17.29	−36.02	39.96	244	c20v
b00r	37.91	1.28	−42.35	42.37	272	c53v
b25r	23.81	30.38	−52.26	60.45	300	c87v
b50r	29.52	69.06	−42.14	80.9	329	v68m
b75r	36.48	71.47	−3.69	71.57	357	m34o

Ein und Ausgabe: Farbmetrisches Drucker-Reflektiv-System FRS09_92, L*=09_92 für relativen CIELAB-Buntton $h^* = lab^*h^* = h_{lab}/360 = 0.755$ $u^*_\epsilon = b00r$

Daten für jede Farbe:
*lab*ich** und *lab*icu**
Buntontexte:
$u^*_\epsilon = b00r$ $u^*_d = c53v$
Kontrastreduzierungsfaktor:
$c_R = 1.0$
Dreiecks-Helligkeit t^*

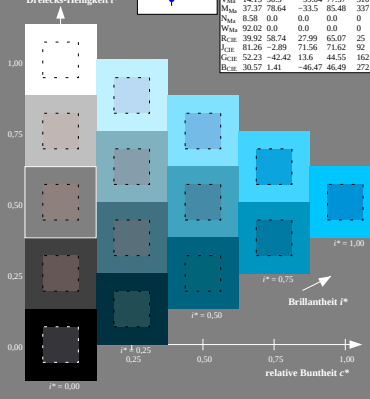

Daten für Maximalfarbe (Ma):
*LAB*LAB**$_{Ma}$: 38 1 −42
*LAB*LCH**$_{Ma}$: 38 42 271
*lab*rgb**$_{Ma}$: 0.0 0.0 1.0
*lab*olv**$_{Ma}$: 0.0 0.47 1.0
Dreiecks-Helligkeit t^*

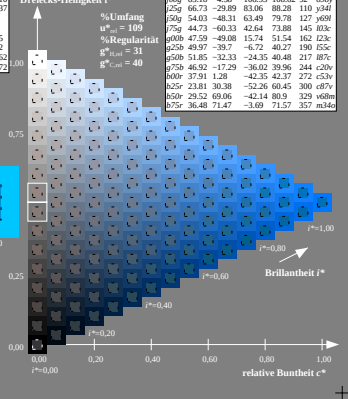

FRS09_92a; adaptierte CIELAB-Daten

	L^*_{CIE}	a^*	b^*	C^*_{dca}	h^*_{dca}
O_{Ma}	35.06	60.0	44.0	74.4	36
Y_{Ma}	83.77	−5.17	109.32	109.44	93
L_{Ma}	44.13	−62.67	48.24	79.09	142
C_{Ma}	52.66	−29.14	−31.99	43.27	228
V_{Ma}	14.15	50.3	−59.04	77.57	310
M_{Ma}	37.37	78.64	−33.5	85.48	337
N_{Ma}	8.58	0.0	0.0	0.0	0
W_{Ma}	92.02	0.0	0.0	0.0	0
R_{CIE}	39.92	58.74	27.99	65.07	25
I_{CIE}	81.26	−2.89	71.56	71.62	92
C_{CIE}	52.23	−42.42	13.6	44.55	162
B_{CIE}	30.57	1.41	−46.47	46.49	272

	L^*_{CIE}	a^*	b^*	C^*_{dca}	h^*_{dca}	u^*_d
r00	35.47	63.32	30.17	70.15	25	m81c
r25j	39.12	54.56	49.45	73.64	42	o10y
r50j	50.64	39.15	64.89	75.79	59	o40y
r75j	64.01	21.26	82.83	85.52	76	o60y
y00g	83.18	−4.38	108.53	108.62	92	o98y
y25g	66.73	−29.89	83.06	88.28	110	y34l
y50g	54.03	−48.31	63.49	79.78	127	y69l
y75g	44.73	−60.33	42.64	73.88	145	l03c
g00b	47.59	−49.08	15.74	51.54	162	l23c
g25b	49.97	−39.7	−6.72	40.27	190	l55c
g50b	51.85	−32.33	−24.35	40.48	217	l87c
g75b	46.92	−17.29	−36.02	39.96	244	c20v
b00r	37.91	1.28	−42.35	42.37	272	c53v
b25r	23.81	30.38	−52.26	60.45	300	c87v
b50r	29.52	69.06	−42.14	80.9	329	v68m
b75r	36.48	71.47	−3.69	71.57	357	m34o

Ein und Ausgabe: Farbmetrisches Drucker-Reflektiv-System FRS09_92, L*=09_92 für relativen CIELAB-Buntton $h^* = lab^*h^* = h_{lab}/360 = 0.834$ $u^*_\epsilon = b25r$

Daten für jede Farbe:
*lab*ich** und *lab*icu**
Buntontexte:
$u^*_\epsilon = b25r$ $u^*_d = c87v$
Kontrastreduzierungsfaktor:
$c_R = 1.0$
Dreiecks-Helligkeit t^*

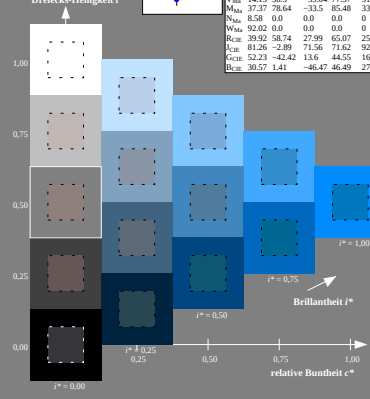

Daten für Maximalfarbe (Ma):
*LAB*LAB**$_{Ma}$: 24 30 −52
*LAB*LCH**$_{Ma}$: 24 60 300
*lab*rgb**$_{Ma}$: 0.5 0.0 1.0
*lab*olv**$_{Ma}$: 0.0 0.12 1.0
Dreiecks-Helligkeit t^*

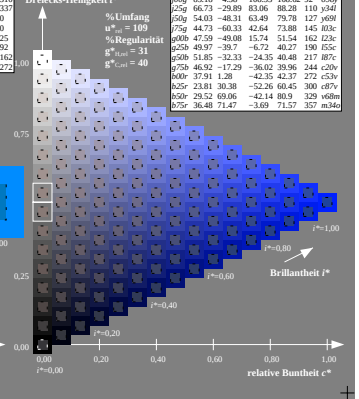

FRS09_92a; adaptierte CIELAB-Daten

	L^*_{CIE}	a^*	b^*	C^*_{dca}	h^*_{dca}
O_{Ma}	35.06	60.0	44.0	74.4	36
Y_{Ma}	83.77	−5.17	109.32	109.44	93
L_{Ma}	44.13	−62.67	48.24	79.09	142
C_{Ma}	52.66	−29.14	−31.99	43.27	228
V_{Ma}	14.15	50.3	−59.04	77.57	310
M_{Ma}	37.37	78.64	−33.5	85.48	337
N_{Ma}	8.58	0.0	0.0	0.0	0
W_{Ma}	92.02	0.0	0.0	0.0	0
R_{CIE}	39.92	58.74	27.99	65.07	25
I_{CIE}	81.26	−2.89	71.56	71.62	92
C_{CIE}	52.23	−42.42	13.6	44.55	162
B_{CIE}	30.57	1.41	−46.47	46.49	272

	L^*_{CIE}	a^*	b^*	C^*_{dca}	h^*_{dca}	u^*_d
r00	35.47	63.32	30.17	70.15	25	m81c
r25j	39.12	54.56	49.45	73.64	42	o10y
r50j	50.64	39.15	64.89	75.79	59	o40y
r75j	64.01	21.26	82.83	85.52	76	o60y
y00g	83.18	−4.38	108.53	108.62	92	o98y
y25g	66.73	−29.89	83.06	88.28	110	y34l
y50g	54.03	−48.31	63.49	79.78	127	y69l
y75g	44.73	−60.33	42.64	73.88	145	l03c
g00b	47.59	−49.08	15.74	51.54	162	l23c
g25b	49.97	−39.7	−6.72	40.27	190	l55c
g50b	51.85	−32.33	−24.35	40.48	217	l87c
g75b	46.92	−17.29	−36.02	39.96	244	c20v
b00r	37.91	1.28	−42.35	42.37	272	c53v
b25r	23.81	30.38	−52.26	60.45	300	c87v
b50r	29.52	69.06	−42.14	80.9	329	v68m
b75r	36.48	71.47	−3.69	71.57	357	m34o

Ein und Ausgabe: Farbmetrisches Drucker-Reflektiv-System FRS09_92, L*=09_92 für relativen CIELAB-Buntton $h^* = lab^*h^* = h_{lab}/360 = 0.913$ $u^*_\epsilon = b50r$

Daten für jede Farbe:
*lab*ich** und *lab*icu**
Buntontexte:
$u^*_\epsilon = b50r$ $u^*_d = v68m$
Kontrastreduzierungsfaktor:
$c_R = 1.0$
Dreiecks-Helligkeit t^*

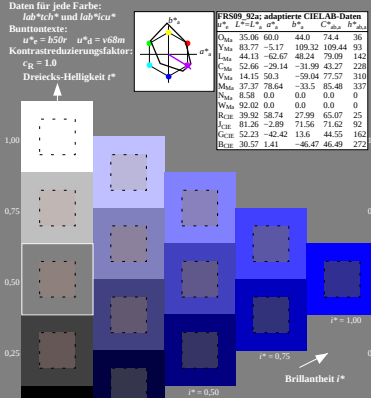

Daten für Maximalfarbe (Ma):
*LAB*LAB**$_{Ma}$: 30 69 −42
*LAB*LCH**$_{Ma}$: 30 81 328
*lab*rgb**$_{Ma}$: 1.0 0.0 1.0
*lab*olv**$_{Ma}$: 0.69 0.0 1.0
Dreiecks-Helligkeit t^*

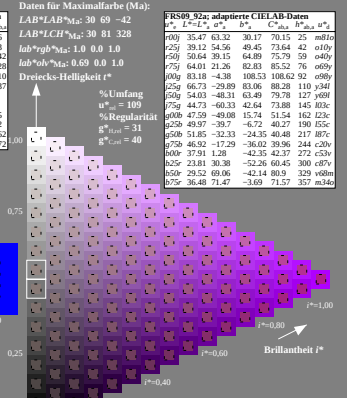

FRS09_92a; adaptierte CIELAB-Daten

	L^*_{CIE}	a^*	b^*	C^*_{dca}	h^*_{dca}
O_{Ma}	35.06	60.0	44.0	74.4	36
Y_{Ma}	83.77	−5.17	109.32	109.44	93
L_{Ma}	44.13	−62.67	48.24	79.09	142
C_{Ma}	52.66	−29.14	−31.99	43.27	228
V_{Ma}	14.15	50.3	−59.04	77.57	310
M_{Ma}	37.37	78.64	−33.5	85.48	337
N_{Ma}	8.58	0.0	0.0	0.0	0
W_{Ma}	92.02	0.0	0.0	0.0	0
R_{CIE}	39.92	58.74	27.99	65.07	25
I_{CIE}	81.26	−2.89	71.56	71.62	92
C_{CIE}	52.23	−42.42	13.6	44.55	162
B_{CIE}	30.57	1.41	−46.47	46.49	272

	L^*_{CIE}	a^*	b^*	C^*_{dca}	h^*_{dca}	u^*_d
r00	35.47	63.32	30.17	70.15	25	m81c
r25j	39.12	54.56	49.45	73.64	42	o10y
r50j	50.64	39.15	64.89	75.79	59	o40y
r75j	64.01	21.26	82.83	85.52	76	o60y
y00g	83.18	−4.38	108.53	108.62	92	o98y
y25g	66.73	−29.89	83.06	88.28	110	y34l
y50g	54.03	−48.31	63.49	79.78	127	y69l
y75g	44.73	−60.33	42.64	73.88	145	l03c
g00b	47.59	−49.08	15.74	51.54	162	l23c
g25b	49.97	−39.7	−6.72	40.27	190	l55c
g50b	51.85	−32.33	−24.35	40.48	217	l87c
g75b	46.92	−17.29	−36.02	39.96	244	c20v
b00r	37.91	1.28	−42.35	42.37	272	c53v
b25r	23.81	30.38	−52.26	60.45	300	c87v
b50r	29.52	69.06	−42.14	80.9	329	v68m
b75r	36.48	71.47	−3.69	71.57	357	m34o

Ein und Ausgabe: Farbmetrisches Drucker-Reflektiv-System FRS09_92, L*=09_92 für relativen CIELAB-Buntton $h^* = lab^*h^* = h_{lab}/360 = 0.992$ $u^*_\epsilon = b75r$

Daten für jede Farbe:
*lab*ich** und *lab*icu**
Buntontexte:
$u^*_\epsilon = b75r$ $u^*_d = m34o$
Kontrastreduzierungsfaktor:
$c_R = 1.0$
Dreiecks-Helligkeit t^*

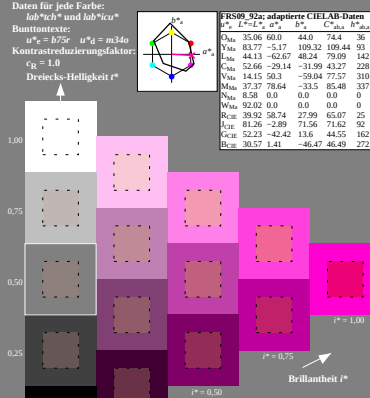

Daten für Maximalfarbe (Ma):
*LAB*LAB**$_{Ma}$: 36 71 −4
*LAB*LCH**$_{Ma}$: 36 72 357
*lab*rgb**$_{Ma}$: 1.0 0.0 0.5
*lab*olv**$_{Ma}$: 1.0 0.0 0.66
Dreiecks-Helligkeit t^*

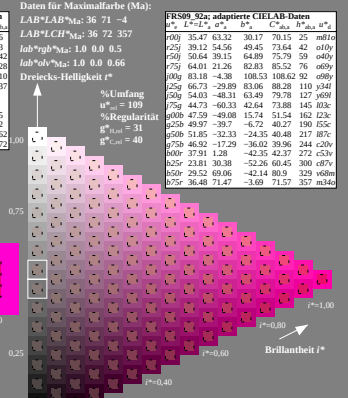

FRS09_92a; adaptierte CIELAB-Daten

	L^*_{CIE}	a^*	b^*	C^*_{dca}	h^*_{dca}
O_{Ma}	35.06	60.0	44.0	74.4	36
Y_{Ma}	83.77	−5.17	109.32	109.44	93
L_{Ma}	44.13	−62.67	48.24	79.09	142
C_{Ma}	52.66	−29.14	−31.99	43.27	228
V_{Ma}	14.15	50.3	−59.04	77.57	310
M_{Ma}	37.37	78.64	−33.5	85.48	337
N_{Ma}	8.58	0.0	0.0	0.0	0
W_{Ma}	92.02	0.0	0.0	0.0	0
R_{CIE}	39.92	58.74	27.99	65.07	25
I_{CIE}	81.26	−2.89	71.56	71.62	92
C_{CIE}	52.23	−42.42	13.6	44.55	162
B_{CIE}	30.57	1.41	−46.47	46.49	272

	L^*_{CIE}	a^*	b^*	C^*_{dca}	h^*_{dca}	u^*_d
r00	35.47	63.32	30.17	70.15	25	m81c
r25j	39.12	54.56	49.45	73.64	42	o10y
r50j	50.64	39.15	64.89	75.79	59	o40y
r75j	64.01	21.26	82.83	85.52	76	o60y
y00g	83.18	−4.38	108.53	108.62	92	o98y
y25g	66.73	−29.89	83.06	88.28	110	y34l
y50g	54.03	−48.31	63.49	79.78	127	y69l
y75g	44

Ein und Ausgabe: Farbmetrisches Drucker-Reflektiv-System FRS09_92, L*=09_92 für relativen CIELAB-Buntton $h^* = lab^*h^* = h_{ab}/360 = 0.451$ $u^*_\varepsilon = g00b$

Daten für jede Farbe:
*lab*ich** und *lab*icu**
Buntontexte:
$u^*_\varepsilon = g00b$ $u^*_d = f23c$
Kontrastreduzierungsfaktor:
$c_R = 1.0$
Dreiecks-Helligkeit t^*

Daten für Maximalfarbe (Ma):
$LAB^*LAB^*_{Ma}$: 48 −49 16
$LAB^*LCH^*_{Ma}$: 48 52 162
$lab^*rgb^*_{Ma}$: 0.0 1.0 0.0
$lab^*olv^*_{Ma}$: 0.0 1.0 0.23
Dreiecks-Helligkeit t^*

%Umfang
$u^*_{vol} = 109$
%Regularität
$g^*_{H,rel} = 31$
$g^*_{C,rel} = 40$

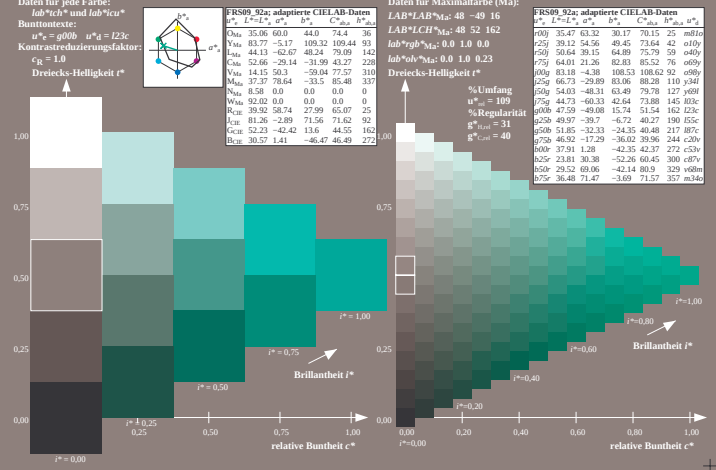

FRS09_92a; adaptierte CIELAB-Daten

u^*_ε	$L^*=L^*_\varepsilon$	a^*_ε	b^*_ε	$C^*_{ab,\varepsilon}$	$h^*_{ab,\varepsilon}$
O_{Ma}	35.06	60.0	44.0	74.4	36
Y_{Ma}	83.77	−5.17	109.32	109.44	93
L_{Ma}	44.13	−62.67	48.24	79.09	142
C_{Ma}	52.66	−29.14	−31.99	43.27	228
V_{Ma}	14.15	50.3	−59.04	77.57	310
M_{Ma}	37.37	78.64	−33.5	85.48	337
N_{Ma}	8.58	0.0	0.0	0.0	0
W_{Ma}	92.02	0.0	0.0	0.0	0
R_{CIE}	39.92	58.74	27.99	65.07	25
I_{CIE}	81.26	−2.89	71.56	71.62	92
C_{CIE}	52.23	−42.42	13.6	44.55	162
B_{CIE}	30.57	1.41	−46.47	46.49	272

FRS09_92a; adaptierte CIELAB-Daten

u^*_ε	$L^*=L^*_\varepsilon$	a^*_ε	b^*_ε	$C^*_{ab,\varepsilon}$	$h^*_{ab,\varepsilon}$	u^*_d
r00	35.47	63.32	30.17	70.15	25	m81c
r25	39.12	54.56	49.45	73.64	42	o10y
r50	50.64	39.15	64.89	75.79	59	o40y
r75	64.01	21.26	82.83	85.52	76	o60y
y00	83.18	−4.38	108.53	108.62	92	o98y
y25	66.73	−29.89	83.06	88.28	110	y34l
y50	54.03	−48.31	63.49	79.78	127	y69l
y75	44.73	−60.33	42.64	73.88	145	l03c
g00b	47.59	−49.08	15.74	51.54	162	l23c
g25b	49.97	−39.7	−6.72	40.27	190	l55c
g50b	51.85	−32.33	−24.35	40.48	217	l87c
g75b	46.92	−17.29	−36.02	39.96	244	c20v
b00r	37.91	1.28	−42.35	42.37	272	c53v
b25r	23.81	30.38	−52.26	60.45	300	c87v
b50r	29.52	69.06	−42.14	80.9	329	v68m
b75r	36.48	71.47	−3.69	71.57	357	m34o

Ein und Ausgabe: Farbmetrisches Drucker-Reflektiv-System FRS09_92, L*=09_92 für relativen CIELAB-Buntton $h^* = lab^*h^* = h_{ab}/360 = 0.527$ $u^*_\varepsilon = g25b$

Daten für jede Farbe:
*lab*ich** und *lab*icu**
Buntontexte:
$u^*_\varepsilon = g25b$ $u^*_d = f55c$
Kontrastreduzierungsfaktor:
$c_R = 1.0$
Dreiecks-Helligkeit t^*

Daten für Maximalfarbe (Ma):
$LAB^*LAB^*_{Ma}$: 50 −40 −7
$LAB^*LCH^*_{Ma}$: 50 40 189
$lab^*rgb^*_{Ma}$: 0.0 1.0 0.5
$lab^*olv^*_{Ma}$: 0.0 1.0 0.55
Dreiecks-Helligkeit t^*

%Umfang
$u^*_{vol} = 109$
%Regularität
$g^*_{H,rel} = 31$
$g^*_{C,rel} = 40$

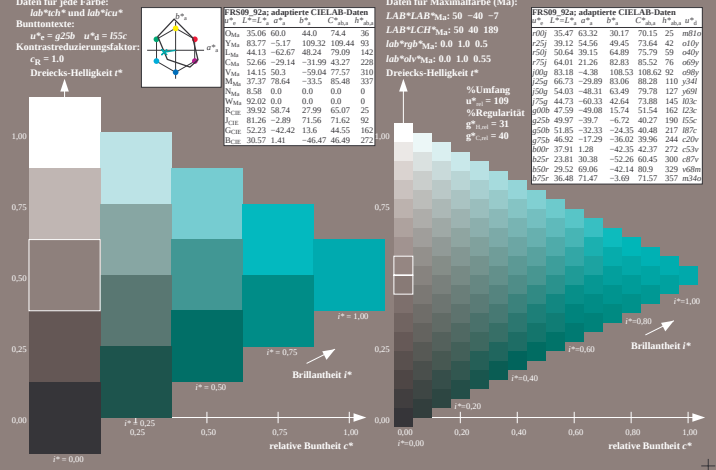

FRS09_92a; adaptierte CIELAB-Daten

u^*_ε	$L^*=L^*_\varepsilon$	a^*_ε	b^*_ε	$C^*_{ab,\varepsilon}$	$h^*_{ab,\varepsilon}$
O_{Ma}	35.06	60.0	44.0	74.4	36
Y_{Ma}	83.77	−5.17	109.32	109.44	93
L_{Ma}	44.13	−62.67	48.24	79.09	142
C_{Ma}	52.66	−29.14	−31.99	43.27	228
V_{Ma}	14.15	50.3	−59.04	77.57	310
M_{Ma}	37.37	78.64	−33.5	85.48	337
N_{Ma}	8.58	0.0	0.0	0.0	0
W_{Ma}	92.02	0.0	0.0	0.0	0
R_{CIE}	39.92	58.74	27.99	65.07	25
I_{CIE}	81.26	−2.89	71.56	71.62	92
C_{CIE}	52.23	−42.42	13.6	44.55	162
B_{CIE}	30.57	1.41	−46.47	46.49	272

FRS09_92a; adaptierte CIELAB-Daten

u^*_ε	$L^*=L^*_\varepsilon$	a^*_ε	b^*_ε	$C^*_{ab,\varepsilon}$	$h^*_{ab,\varepsilon}$	u^*_d
r00	35.47	63.32	30.17	70.15	25	m81c
r25	39.12	54.56	49.45	73.64	42	o10y
r50	50.64	39.15	64.89	75.79	59	o40y
r75	64.01	21.26	82.83	85.52	76	o60y
y00	83.18	−4.38	108.53	108.62	92	o98y
y25	66.73	−29.89	83.06	88.28	110	y34l
y50	54.03	−48.31	63.49	79.78	127	y69l
y75	44.73	−60.33	42.64	73.88	145	l03c
g00b	47.59	−49.08	15.74	51.54	162	l23c
g25b	49.97	−39.7	−6.72	40.27	190	l55c
g50b	51.85	−32.33	−24.35	40.48	217	l87c
g75b	46.92	−17.29	−36.02	39.96	244	c20v
b00r	37.91	1.28	−42.35	42.37	272	c53v
b25r	23.81	30.38	−52.26	60.45	300	c87v
b50r	29.52	69.06	−42.14	80.9	329	v68m
b75r	36.48	71.47	−3.69	71.57	357	m34o

Ein und Ausgabe: Farbmetrisches Drucker-Reflektiv-System FRS09_92, L*=09_92 für relativen CIELAB-Buntton $h^* = lab^*h^* = h_{ab}/360 = 0.603$ $u^*_\varepsilon = g50b$

Daten für jede Farbe:
*lab*ich** und *lab*icu**
Buntontexte:
$u^*_\varepsilon = g50b$ $u^*_d = l87c$
Kontrastreduzierungsfaktor:
$c_R = 1.0$
Dreiecks-Helligkeit t^*

Daten für Maximalfarbe (Ma):
$LAB^*LAB^*_{Ma}$: 52 −32 −24
$LAB^*LCH^*_{Ma}$: 52 40 216
$lab^*rgb^*_{Ma}$: 0.0 1.0 1.0
$lab^*olv^*_{Ma}$: 0.0 1.0 0.87
Dreiecks-Helligkeit t^*

%Umfang
$u^*_{vol} = 109$
%Regularität
$g^*_{H,rel} = 31$
$g^*_{C,rel} = 40$

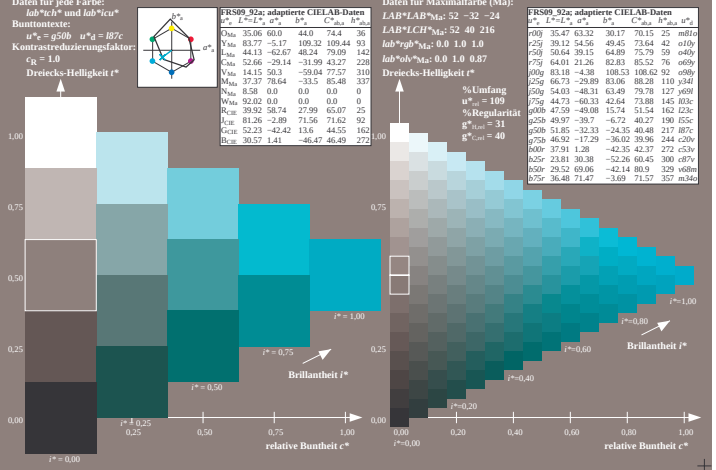

FRS09_92a; adaptierte CIELAB-Daten

u^*_ε	$L^*=L^*_\varepsilon$	a^*_ε	b^*_ε	$C^*_{ab,\varepsilon}$	$h^*_{ab,\varepsilon}$
O_{Ma}	35.06	60.0	44.0	74.4	36
Y_{Ma}	83.77	−5.17	109.32	109.44	93
L_{Ma}	44.13	−62.67	48.24	79.09	142
C_{Ma}	52.66	−29.14	−31.99	43.27	228
V_{Ma}	14.15	50.3	−59.04	77.57	310
M_{Ma}	37.37	78.64	−33.5	85.48	337
N_{Ma}	8.58	0.0	0.0	0.0	0
W_{Ma}	92.02	0.0	0.0	0.0	0
R_{CIE}	39.92	58.74	27.99	65.07	25
I_{CIE}	81.26	−2.89	71.56	71.62	92
C_{CIE}	52.23	−42.42	13.6	44.55	162
B_{CIE}	30.57	1.41	−46.47	46.49	272

FRS09_92a; adaptierte CIELAB-Daten

u^*_ε	$L^*=L^*_\varepsilon$	a^*_ε	b^*_ε	$C^*_{ab,\varepsilon}$	$h^*_{ab,\varepsilon}$	u^*_d
r00	35.47	63.32	30.17	70.15	25	m81c
r25	39.12	54.56	49.45	73.64	42	o10y
r50	50.64	39.15	64.89	75.79	59	o40y
r75	64.01	21.26	82.83	85.52	76	o60y
y00	83.18	−4.38	108.53	108.62	92	o98y
y25	66.73	−29.89	83.06	88.28	110	y34l
y50	54.03	−48.31	63.49	79.78	127	y69l
y75	44.73	−60.33	42.64	73.88	145	l03c
g00b	47.59	−49.08	15.74	51.54	162	l23c
g25b	49.97	−39.7	−6.72	40.27	190	l55c
g50b	51.85	−32.33	−24.35	40.48	217	l87c
g75b	46.92	−17.29	−36.02	39.96	244	c20v
b00r	37.91	1.28	−42.35	42.37	272	c53v
b25r	23.81	30.38	−52.26	60.45	300	c87v
b50r	29.52	69.06	−42.14	80.9	329	v68m
b75r	36.48	71.47	−3.69	71.57	357	m34o

Ein und Ausgabe: Farbmetrisches Drucker-Reflektiv-System FRS09_92, L*=09_92 für relativen CIELAB-Buntton $h^* = lab^*h^* = h_{ab}/360 = 0.679$ $u^*_\varepsilon = g75b$

Daten für jede Farbe:
*lab*ich** und *lab*icu**
Buntontexte:
$u^*_\varepsilon = g75b$ $u^*_d = c20v$
Kontrastreduzierungsfaktor:
$c_R = 1.0$
Dreiecks-Helligkeit t^*

Daten für Maximalfarbe (Ma):
$LAB^*LAB^*_{Ma}$: 47 −17 −36
$LAB^*LCH^*_{Ma}$: 47 40 244
$lab^*rgb^*_{Ma}$: 0.0 0.5 1.0
$lab^*olv^*_{Ma}$: 0.0 0.8 1.0
Dreiecks-Helligkeit t^*

%Umfang
$u^*_{vol} = 109$
%Regularität
$g^*_{H,rel} = 31$
$g^*_{C,rel} = 40$

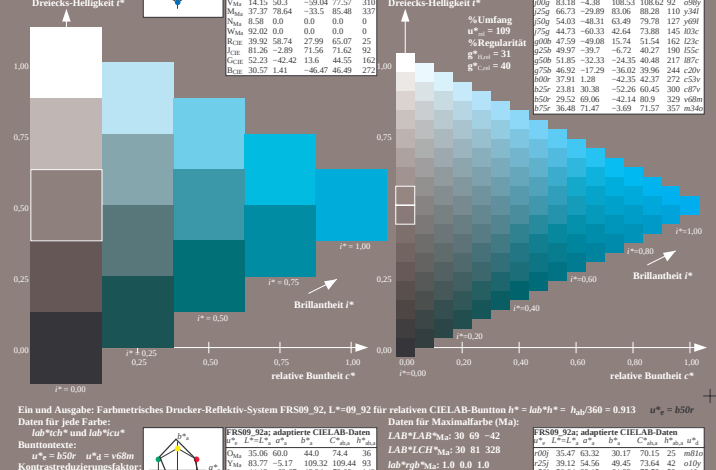

FRS09_92a; adaptierte CIELAB-Daten

u^*_ε	$L^*=L^*_\varepsilon$	a^*_ε	b^*_ε	$C^*_{ab,\varepsilon}$	$h^*_{ab,\varepsilon}$
O_{Ma}	35.06	60.0	44.0	74.4	36
Y_{Ma}	83.77	−5.17	109.32	109.44	93
L_{Ma}	44.13	−62.67	48.24	79.09	142
C_{Ma}	52.66	−29.14	−31.99	43.27	228
V_{Ma}	14.15	50.3	−59.04	77.57	310
M_{Ma}	37.37	78.64	−33.5	85.48	337
N_{Ma}	8.58	0.0	0.0	0.0	0
W_{Ma}	92.02	0.0	0.0	0.0	0
R_{CIE}	39.92	58.74	27.99	65.07	25
I_{CIE}	81.26	−2.89	71.56	71.62	92
C_{CIE}	52.23	−42.42	13.6	44.55	162
B_{CIE}	30.57	1.41	−46.47	46.49	272

FRS09_92a; adaptierte CIELAB-Daten

u^*_ε	$L^*=L^*_\varepsilon$	a^*_ε	b^*_ε	$C^*_{ab,\varepsilon}$	$h^*_{ab,\varepsilon}$	u^*_d
r00	35.47	63.32	30.17	70.15	25	m81c
r25	39.12	54.56	49.45	73.64	42	o10y
r50	50.64	39.15	64.89	75.79	59	o40y
r75	64.01	21.26	82.83	85.52	76	o60y
y00	83.18	−4.38	108.53	108.62	92	o98y
y25	66.73	−29.89	83.06	88.28	110	y34l
y50	54.03	−48.31	63.49	79.78	127	y69l
y75	44.73	−60.33	42.64	73.88	145	l03c
g00b	47.59	−49.08	15.74	51.54	162	l23c
g25b	49.97	−39.7	−6.72	40.27	190	l55c
g50b	51.85	−32.33	−24.35	40.48	217	l87c
g75b	46.92	−17.29	−36.02	39.96	244	c20v
b00r	37.91	1.28	−42.35	42.37	272	c53v
b25r	23.81	30.38	−52.26	60.45	300	c87v
b50r	29.52	69.06	−42.14	80.9	329	v68m
b75r	36.48	71.47	−3.69	71.57	357	m34o

Ein und Ausgabe: Farbmetrisches Drucker-Reflektiv-System FRS09_92, L*=09_92 für relativen CIELAB-Buntton $h^* = lab^*h^* = h_{ab}/360 = 0.755$ $u^*_\varepsilon = b00r$

Daten für jede Farbe:
*lab*ich** und *lab*icu**
Buntontexte:
$u^*_\varepsilon = b00r$ $u^*_d = c53v$
Kontrastreduzierungsfaktor:
$c_R = 1.0$
Dreiecks-Helligkeit t^*

Daten für Maximalfarbe (Ma):
$LAB^*LAB^*_{Ma}$: 38 1 −42
$LAB^*LCH^*_{Ma}$: 38 42 271
$lab^*rgb^*_{Ma}$: 0.0 0.0 1.0
$lab^*olv^*_{Ma}$: 0.0 0.47 1.0
Dreiecks-Helligkeit t^*

%Umfang
$u^*_{vol} = 109$
%Regularität
$g^*_{H,rel} = 31$
$g^*_{C,rel} = 40$

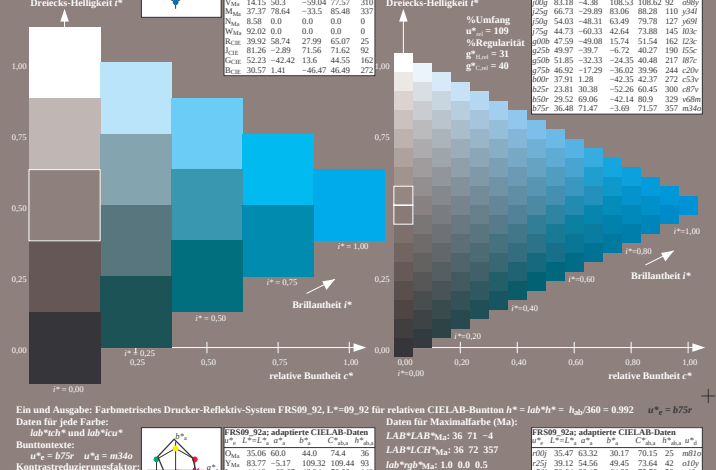

FRS09_92a; adaptierte CIELAB-Daten

u^*_ε	$L^*=L^*_\varepsilon$	a^*_ε	b^*_ε	$C^*_{ab,\varepsilon}$	$h^*_{ab,\varepsilon}$
O_{Ma}	35.06	60.0	44.0	74.4	36
Y_{Ma}	83.77	−5.17	109.32	109.44	93
L_{Ma}	44.13	−62.67	48.24	79.09	142
C_{Ma}	52.66	−29.14	−31.99	43.27	228
V_{Ma}	14.15	50.3	−59.04	77.57	310
M_{Ma}	37.37	78.64	−33.5	85.48	337
N_{Ma}	8.58	0.0	0.0	0.0	0
W_{Ma}	92.02	0.0	0.0	0.0	0
R_{CIE}	39.92	58.74	27.99	65.07	25
I_{CIE}	81.26	−2.89	71.56	71.62	92
C_{CIE}	52.23	−42.42	13.6	44.55	162
B_{CIE}	30.57	1.41	−46.47	46.49	272

FRS09_92a; adaptierte CIELAB-Daten

u^*_ε	$L^*=L^*_\varepsilon$	a^*_ε	b^*_ε	$C^*_{ab,\varepsilon}$	$h^*_{ab,\varepsilon}$	u^*_d
r00	35.47	63.32	30.17	70.15	25	m81c
r25	39.12	54.56	49.45	73.64	42	o10y
r50	50.64	39.15	64.89	75.79	59	o40y
r75	64.01	21.26	82.83	85.52	76	o60y
y00	83.18	−4.38	108.53	108.62	92	o98y
y25	66.73	−29.89	83.06	88.28	110	y34l
y50	54.03	−48.31	63.49	79.78	127	y69l
y75	44.73	−60.33	42.64	73.88	145	l03c
g00b	47.59	−49.08	15.74	51.54	162	l23c
g25b	49.97	−39.7	−6.72	40.27	190	l55c
g50b	51.85	−32.33	−24.35	40.48	217	l87c
g75b	46.92	−17.29	−36.02	39.96	244	c20v
b00r	37.91	1.28	−42.35	42.37	272	c53v
b25r	23.81	30.38	−52.26	60.45	300	c87v
b50r	29.52	69.06	−42.14	80.9	329	v68m
b75r	36.48	71.47	−3.69	71.57	357	m34o

Ein und Ausgabe: Farbmetrisches Drucker-Reflektiv-System FRS09_92, L*=09_92 für relativen CIELAB-Buntton $h^* = lab^*h^* = h_{ab}/360 = 0.834$ $u^*_\varepsilon = b25r$

Daten für jede Farbe:
*lab*ich** und *lab*icu**
Buntontexte:
$u^*_\varepsilon = b25r$ $u^*_d = c87v$
Kontrastreduzierungsfaktor:
$c_R = 1.0$
Dreiecks-Helligkeit t^*

Daten für Maximalfarbe (Ma):
$LAB^*LAB^*_{Ma}$: 24 30 −52
$LAB^*LCH^*_{Ma}$: 24 60 300
$lab^*rgb^*_{Ma}$: 0.5 0.0 1.0
$lab^*olv^*_{Ma}$: 0.0 0.12 1.0
Dreiecks-Helligkeit t^*

%Umfang
$u^*_{vol} = 109$
%Regularität
$g^*_{H,rel} = 31$
$g^*_{C,rel} = 40$

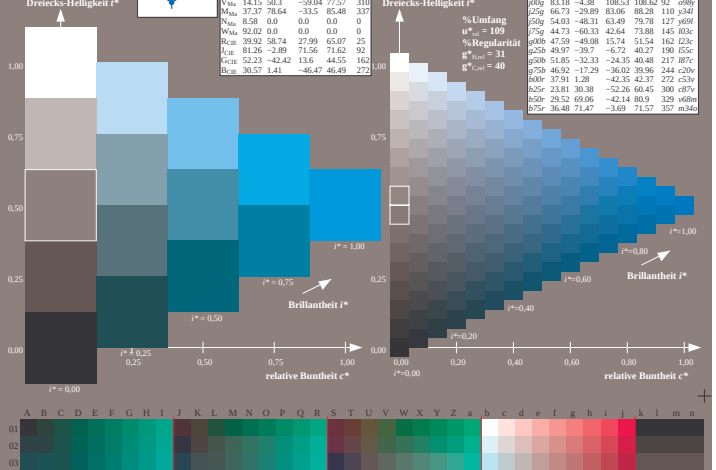

FRS09_92a; adaptierte CIELAB-Daten

u^*_ε	$L^*=L^*_\varepsilon$	a^*_ε	b^*_ε	$C^*_{ab,\varepsilon}$	$h^*_{ab,\varepsilon}$
O_{Ma}	35.06	60.0	44.0	74.4	36
Y_{Ma}	83.77	−5.17	109.32	109.44	93
L_{Ma}	44.13	−62.67	48.24	79.09	142
C_{Ma}	52.66	−29.14	−31.99	43.27	228
V_{Ma}	14.15	50.3	−59.04	77.57	310
M_{Ma}	37.37	78.64	−33.5	85.48	337
N_{Ma}	8.58	0.0	0.0	0.0	0
W_{Ma}	92.02	0.0	0.0	0.0	0
R_{CIE}	39.92	58.74	27.99	65.07	25
I_{CIE}	81.26	−2.89	71.56	71.62	92
C_{CIE}	52.23	−42.42	13.6	44.55	162
B_{CIE}	30.57	1.41	−46.47	46.49	272

FRS09_92a; adaptierte CIELAB-Daten

u^*_ε	$L^*=L^*_\varepsilon$	a^*_ε	b^*_ε	$C^*_{ab,\varepsilon}$	$h^*_{ab,\varepsilon}$	u^*_d
r00	35.47	63.32	30.17	70.15	25	m81c
r25	39.12	54.56	49.45	73.64	42	o10y
r50	50.64	39.15	64.89	75.79	59	o40y
r75	64.01	21.26	82.83	85.52	76	o60y
y00	83.18	−4.38	108.53	108.62	92	o98y
y25	66.73	−29.89	83.06	88.28	110	y34l
y50	54.03	−48.31	63.49	79.78	127	y69l
y75	44.73	−60.33	42.64	73.88	145	l03c
g00b	47.59	−49.08	15.74	51.54	162	l23c
g25b	49.97	−39.7	−6.72	40.27	190	l55c
g50b	51.85	−32.33	−24.35	40.48	217	l87c
g75b	46.92	−17.29	−36.02	39.96	244	c20v
b00r	37.91	1.28	−42.35	42.37	272	c53v
b25r	23.81	30.38	−52.26	60.45	300	c87v
b50r	29.52	69.06	−42.14	80.9	329	v68m
b75r	36.48	71.47	−3.69	71.57	357	m34o

Ein und Ausgabe: Farbmetrisches Drucker-Reflektiv-System FRS09_92, L*=09_92 für relativen CIELAB-Buntton $h^* = lab^*h^* = h_{ab}/360 = 0.913$ $u^*_\varepsilon = b50r$

Daten für jede Farbe:
*lab*ich** und *lab*icu**
Buntontexte:
$u^*_\varepsilon = b50r$ $u^*_d = v68m$
Kontrastreduzierungsfaktor:
$c_R = 1.0$
Dreiecks-Helligkeit t^*

Daten für Maximalfarbe (Ma):
$LAB^*LAB^*_{Ma}$: 30 69 −42
$LAB^*LCH^*_{Ma}$: 30 81 328
$lab^*rgb^*_{Ma}$: 1.0 0.0 1.0
$lab^*olv^*_{Ma}$: 0.69 0.0 1.0
Dreiecks-Helligkeit t^*

%Umfang
$u^*_{vol} = 109$
%Regularität
$g^*_{H,rel} = 31$
$g^*_{C,rel} = 40$

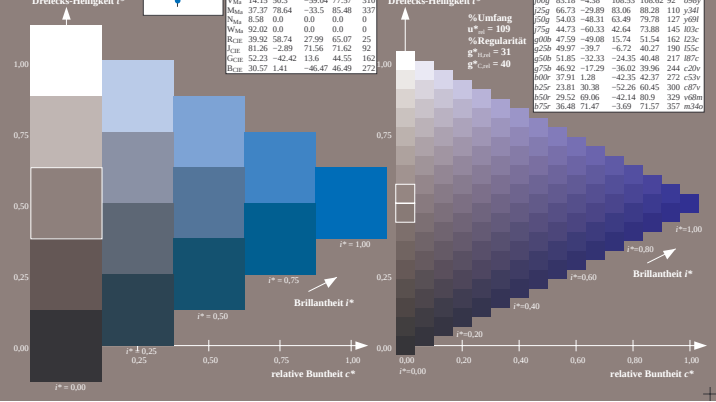

FRS09_92a; adaptierte CIELAB-Daten

u^*_ε	$L^*=L^*_\varepsilon$	a^*_ε	b^*_ε	$C^*_{ab,\varepsilon}$	$h^*_{ab,\varepsilon}$
O_{Ma}	35.06	60.0	44.0	74.4	36
Y_{Ma}	83.77	−5.17	109.32	109.44	93
L_{Ma}	44.13	−62.67	48.24	79.09	142
C_{Ma}	52.66	−29.14	−31.99	43.27	228
V_{Ma}	14.15	50.3	−59.04	77.57	310
M_{Ma}	37.37	78.64	−33.5	85.48	337
N_{Ma}	8.58	0.0	0.0	0.0	0
W_{Ma}	92.02	0.0	0.0	0.0	0
R_{CIE}	39.92	58.74	27.99	65.07	25
I_{CIE}	81.26	−2.89	71.56	71.62	92
C_{CIE}	52.23	−42.42	13.6	44.55	162
B_{CIE}	30.57	1.41	−46.47	46.49	272

FRS09_92a; adaptierte CIELAB-Daten

u^*_ε	$L^*=L^*_\varepsilon$	a^*_ε	b^*_ε	$C^*_{ab,\varepsilon}$	$h^*_{ab,\varepsilon}$	u^*_d
r00	35.47	63.32	30.17	70.15	25	m81c
r25	39.12	54.56	49.45	73.64	42	o10y
r50	50.64	39.15	64.89	75.79	59	o40y
r75	64.01	21.26	82.83	85.52	76	o60y
y00	83.18	−4.38	108.53	108.62	92	o98y
y25	66.73	−29.89	83.06	88.28	110	y34l
y50	54.03	−48.31	63.49	79.78	127	y69l
y75	44.73	−60.33	42.64	73.88	145	l03c
g00b	47.59	−49.08	15.74	51.54	162	l23c
g25b	49.97	−39.7	−6.72	40.27	190	l55c
g50b	51.85	−32.33	−24.35	40.48	217	l87c
g75b	46.92	−17.29	−36.02	39.96	244	c20v
b00r	37.91	1.28	−42.35	42.37	272	c53v
b25r	23.81	30.38	−52.26	60.45	300	c87v
b50r	29.52	69.06	−42.14	80.9	329	v68m
b75r	36.48	71.47	−3.69	71.57	357	m34o

Ein und Ausgabe: Farbmetrisches Drucker-Reflektiv-System FRS09_92, L*=09_92 für relativen CIELAB-Buntton $h^* = lab^*h^* = h_{ab}/360 = 0.992$ $u^*_\varepsilon = b75r$

Daten für jede Farbe:
*lab*ich** und *lab*icu**
Buntontexte:
$u^*_\varepsilon = b75r$ $u^*_d = m34o$
Kontrastreduzierungsfaktor:
$c_R = 1.0$
Dreiecks-Helligkeit t^*

Daten für Maximalfarbe (Ma):
$LAB^*LAB^*_{Ma}$: 36 71 −4
$LAB^*LCH^*_{Ma}$: 36 72 357
$lab^*rgb^*_{Ma}$: 1.0 0.0 0.5
$lab^*olv^*_{Ma}$: 1.0 0.0 0.66
Dreiecks-Helligkeit t^*

%Umfang
$u^*_{vol} = 109$
%Regularität
$g^*_{H,rel} = 31$
$g^*_{C,rel} = 40$

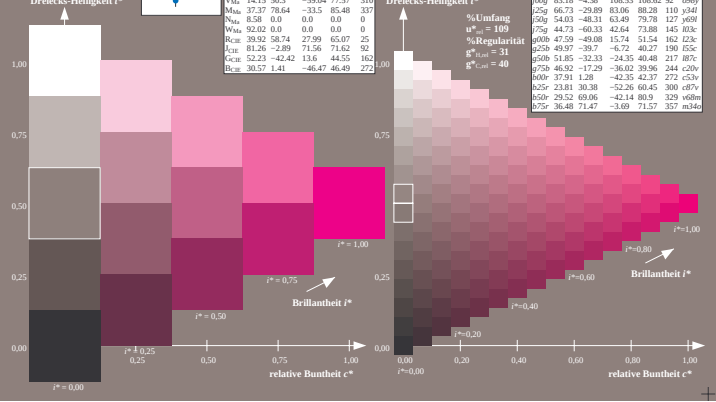

FRS09_92a; adaptierte CIELAB-Daten

u^*_ε	$L^*=L^*_\varepsilon$	a^*_ε	b^*_ε	$C^*_{ab,\varepsilon}$	$h^*_{ab,\varepsilon}$
O_{Ma}	35.06	60.0	44.0	74.4	36
Y_{Ma}	83.77	−5.17	109.32	109.44	93
L_{Ma}	44.13	−62.67	48.24	79.09	142
C_{Ma}	52.66	−29.14	−31.99	43.27	228
V_{Ma}	14.15	50.3	−59.04	77.57	310
M_{Ma}	37.37	78.64	−33.5	85.48	337
N_{Ma}	8.58	0.0	0.0	0.0	0
W_{Ma}	92.02	0.0	0.0	0.0	0
R_{CIE}	39.92	58.74	27.99	65.07	25
I_{CIE}	81.26	−2.89	71.56	71.62	92
C_{CIE}	52.23	−42.42	13.6	44.55	162
B_{CIE}	30.57	1.41	−46.47	46.49	272

FRS09_92a; adaptierte CIELAB-Daten

u^*_ε	$L^*=L^*_\varepsilon$	a^*_ε	b^*_ε	$C^*_{ab,\varepsilon}$	$h^*_{ab,\varepsilon}$	u^*_d
r00	35.47	63.32	30.17	70.15	25	m81c
r25	39.12	54.56	49.45	73.64	42	o10y
r50	50.64	39.15	64.89	75.79	59	o40y
r75	64.01	21.26	82.83	85.52	76	o60y
y00	83.18	−4.38	108.53	108.62	92	o98y
y25	66.73	−29.89	83.06	88.28	110	y34l
y50	54.03	−48.31	63.49	79.78	127	y69l
y75	44.73	−60.33	42.64	73.88	145	l03c
g00b	47.59	−49.08	15.74	51.54	162	l23c
g25b	49.97	−39.7	−6.72	40.27	190	l55c
g50b	51.85	−32.33	−24.35	40.48	217	l87c
g75b	46.92	−17.29	−36.02	39.96	244	c20v
b00r	37.91	1.28	−42.35	42.37	272	c53v
b25r	23.81	30.38	−52.26	60.45	300	c87v
b50r	29.52	69.06	−42.14	80.9	329	v68m
b75r	36.48	71.47	−3.69	71.57	357	m34o

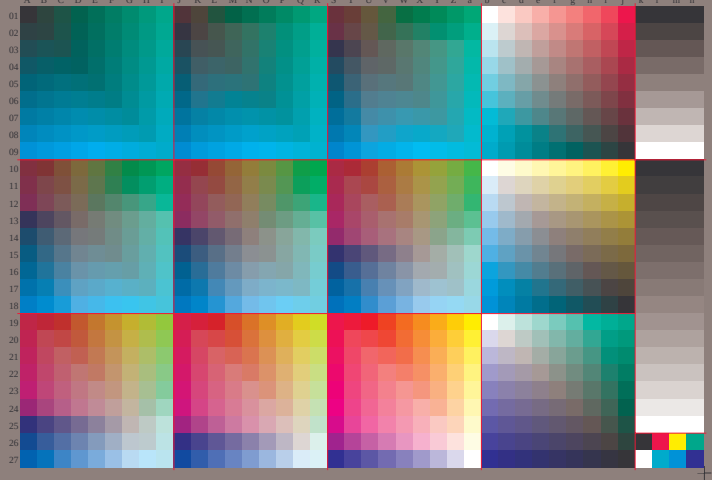

Ein und Ausgabe: Farbmetrisches Drucker-Reflektiv-System FRS09_92, L*=09_92 für relativen CIELAB-Buntton $h^* = lab^*h^* = h_{ab}/360 = 0.451$ $u^*_\epsilon = g00b$

Daten für jede Farbe:
*lab*tch** und *lab*icu**
Bunttontexte:
$u^*_\epsilon = g00b$ $u^*_d = f23c$
Kontrastreduzierungsfaktor:
$c_R = 1.0$
Dreiecks-Helligkeit t^*

FRS09_92a; adaptierte CIELAB-Daten

u^*_ϵ	$L^*_{\epsilon\,CIE}$	a^*_ϵ	b^*_ϵ	$C^*_{ab,\epsilon}$	$h^*_{ab,\epsilon}$
O_{Ma}	35.06	60.0	44.0	74.4	36
Y_{Ma}	83.77	−5.17	109.32	109.44	93
L^*_{Ma}	44.13	−62.67	48.24	79.09	142
C^*_{Ma}	52.66	−29.14	−31.99	43.27	228
V_{Ma}	14.15	50.3	−59.04	77.57	310
M_{Ma}	37.37	78.64	−33.5	85.48	337
N_{Ma}	8.58	0.0	0.0	0.0	0
W_{Ma}	92.02	0.0	0.0	0.0	0
R^*_{CIE}	39.92	58.74	27.99	65.07	25
I^*_{CIE}	81.26	−2.89	71.56	71.62	92
C^*_{CIE}	52.23	−42.42	13.6	44.55	162
B^*_{CIE}	30.57	1.41	−46.47	46.49	272

Daten für Maximalfarbe (Ma):
*LAB*LAB**$_{Ma}$: 48 −49 16
*LAB*LCH**$_{Ma}$: 48 52 162
*lab*rgb**$_{Ma}$: 0.0 1.0 0.0
*lab*olv**$_{Ma}$: 0.0 1.0 0.23
Dreiecks-Helligkeit t^*

FRS09_92a; adaptierte CIELAB-Daten

u^*_ϵ	$L^*_{\epsilon\,CIE}$	a^*_ϵ	b^*_ϵ	$C^*_{ab,\epsilon}$	$h^*_{ab,\epsilon}$	u^*_d
r00	35.47	63.32	30.17	70.15	25	m81c
r25j	39.12	54.56	49.45	73.64	42	o10y
r50j	50.64	39.15	64.89	75.79	59	o40y
r75j	64.01	21.26	82.83	85.52	76	o60y
j00g	83.18	−4.38	108.53	108.62	92	e98y
j25g	66.73	−29.89	83.06	88.28	110	y34l
j50g	54.03	−48.31	63.49	79.78	127	y69l
j75g	44.73	−60.33	42.64	73.88	145	l03c
g00b	47.59	−49.08	15.74	51.54	162	l23c
g25b	49.97	−39.7	−6.72	40.27	190	l55c
g50b	51.85	−32.33	−24.35	40.48	217	l87c
g75b	46.92	−17.29	−36.02	39.96	244	c20v
b00r	37.91	1.28	−42.35	42.37	272	c53v
b25r	23.81	30.38	−52.26	60.45	300	c87v
b50r	29.52	69.06	−42.14	80.9	329	v68m
b75r	36.48	71.47	−3.69	71.57	357	m34o

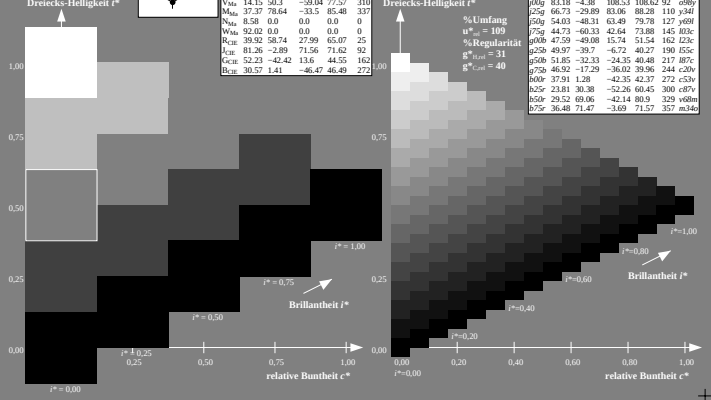

Ein und Ausgabe: Farbmetrisches Drucker-Reflektiv-System FRS09_92, L*=09_92 für relativen CIELAB-Buntton $h^* = lab^*h^* = h_{ab}/360 = 0.527$ $u^*_\epsilon = g25b$

Daten für jede Farbe:
*lab*tch** und *lab*icu**
Bunttontexte:
$u^*_\epsilon = g25b$ $u^*_d = f55c$
Kontrastreduzierungsfaktor:
$c_R = 1.0$
Dreiecks-Helligkeit t^*

FRS09_92a; adaptierte CIELAB-Daten

u^*_ϵ	$L^*_{\epsilon\,CIE}$	a^*_ϵ	b^*_ϵ	$C^*_{ab,\epsilon}$	$h^*_{ab,\epsilon}$
O_{Ma}	35.06	60.0	44.0	74.4	36
Y_{Ma}	83.77	−5.17	109.32	109.44	93
L^*_{Ma}	44.13	−62.67	48.24	79.09	142
C^*_{Ma}	52.66	−29.14	−31.99	43.27	228
V_{Ma}	14.15	50.3	−59.04	77.57	310
M_{Ma}	37.37	78.64	−33.5	85.48	337
N_{Ma}	8.58	0.0	0.0	0.0	0
W_{Ma}	92.02	0.0	0.0	0.0	0
R^*_{CIE}	39.92	58.74	27.99	65.07	25
I^*_{CIE}	81.26	−2.89	71.56	71.62	92
C^*_{CIE}	52.23	−42.42	13.6	44.55	162
B^*_{CIE}	30.57	1.41	−46.47	46.49	272

Daten für Maximalfarbe (Ma):
*LAB*LAB**$_{Ma}$: 50 −40 −7
*LAB*LCH**$_{Ma}$: 50 40 189
*lab*rgb**$_{Ma}$: 0.0 1.0 0.5
*lab*olv**$_{Ma}$: 0.0 1.0 0.55
Dreiecks-Helligkeit t^*

FRS09_92a; adaptierte CIELAB-Daten

u^*_ϵ	$L^*_{\epsilon\,CIE}$	a^*_ϵ	b^*_ϵ	$C^*_{ab,\epsilon}$	$h^*_{ab,\epsilon}$	u^*_d
r00	35.47	63.32	30.17	70.15	25	m81c
r25j	39.12	54.56	49.45	73.64	42	o10y
r50j	50.64	39.15	64.89	75.79	59	o40y
r75j	64.01	21.26	82.83	85.52	76	o60y
j00g	83.18	−4.38	108.53	108.62	92	e98y
j25g	66.73	−29.89	83.06	88.28	110	y34l
j50g	54.03	−48.31	63.49	79.78	127	y69l
j75g	44.73	−60.33	42.64	73.88	145	l03c
g00b	47.59	−49.08	15.74	51.54	162	l23c
g25b	49.97	−39.7	−6.72	40.27	190	l55c
g50b	51.85	−32.33	−24.35	40.48	217	l87c
g75b	46.92	−17.29	−36.02	39.96	244	c20v
b00r	37.91	1.28	−42.35	42.37	272	c53v
b25r	23.81	30.38	−52.26	60.45	300	c87v
b50r	29.52	69.06	−42.14	80.9	329	v68m
b75r	36.48	71.47	−3.69	71.57	357	m34o

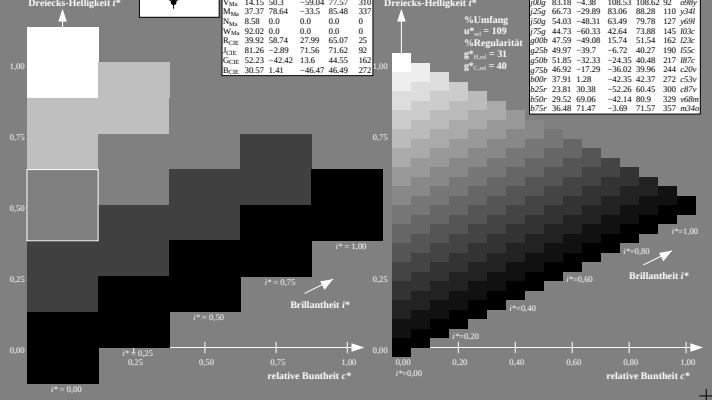

Ein und Ausgabe: Farbmetrisches Drucker-Reflektiv-System FRS09_92, L*=09_92 für relativen CIELAB-Buntton $h^* = lab^*h^* = h_{ab}/360 = 0.603$ $u^*_\epsilon = g50b$

Daten für jede Farbe:
*lab*tch** und *lab*icu**
Bunttontexte:
$u^*_\epsilon = g50b$ $u^*_d = l87c$
Kontrastreduzierungsfaktor:
$c_R = 1.0$
Dreiecks-Helligkeit t^*

FRS09_92a; adaptierte CIELAB-Daten

u^*_ϵ	$L^*_{\epsilon\,CIE}$	a^*_ϵ	b^*_ϵ	$C^*_{ab,\epsilon}$	$h^*_{ab,\epsilon}$
O_{Ma}	35.06	60.0	44.0	74.4	36
Y_{Ma}	83.77	−5.17	109.32	109.44	93
L^*_{Ma}	44.13	−62.67	48.24	79.09	142
C^*_{Ma}	52.66	−29.14	−31.99	43.27	228
V_{Ma}	14.15	50.3	−59.04	77.57	310
M_{Ma}	37.37	78.64	−33.5	85.48	337
N_{Ma}	8.58	0.0	0.0	0.0	0
W_{Ma}	92.02	0.0	0.0	0.0	0
R^*_{CIE}	39.92	58.74	27.99	65.07	25
I^*_{CIE}	81.26	−2.89	71.56	71.62	92
C^*_{CIE}	52.23	−42.42	13.6	44.55	162
B^*_{CIE}	30.57	1.41	−46.47	46.49	272

Daten für Maximalfarbe (Ma):
*LAB*LAB**$_{Ma}$: 52 −32 −24
*LAB*LCH**$_{Ma}$: 52 40 216
*lab*rgb**$_{Ma}$: 0.0 1.0 1.0
*lab*olv**$_{Ma}$: 0.0 1.0 0.87
Dreiecks-Helligkeit t^*

FRS09_92a; adaptierte CIELAB-Daten

u^*_ϵ	$L^*_{\epsilon\,CIE}$	a^*_ϵ	b^*_ϵ	$C^*_{ab,\epsilon}$	$h^*_{ab,\epsilon}$	u^*_d
r00	35.47	63.32	30.17	70.15	25	m81c
r25j	39.12	54.56	49.45	73.64	42	o10y
r50j	50.64	39.15	64.89	75.79	59	o40y
r75j	64.01	21.26	82.83	85.52	76	o60y
j00g	83.18	−4.38	108.53	108.62	92	e98y
j25g	66.73	−29.89	83.06	88.28	110	y34l
j50g	54.03	−48.31	63.49	79.78	127	y69l
j75g	44.73	−60.33	42.64	73.88	145	l03c
g00b	47.59	−49.08	15.74	51.54	162	l23c
g25b	49.97	−39.7	−6.72	40.27	190	l55c
g50b	51.85	−32.33	−24.35	40.48	217	l87c
g75b	46.92	−17.29	−36.02	39.96	244	c20v
b00r	37.91	1.28	−42.35	42.37	272	c53v
b25r	23.81	30.38	−52.26	60.45	300	c87v
b50r	29.52	69.06	−42.14	80.9	329	v68m
b75r	36.48	71.47	−3.69	71.57	357	m34o

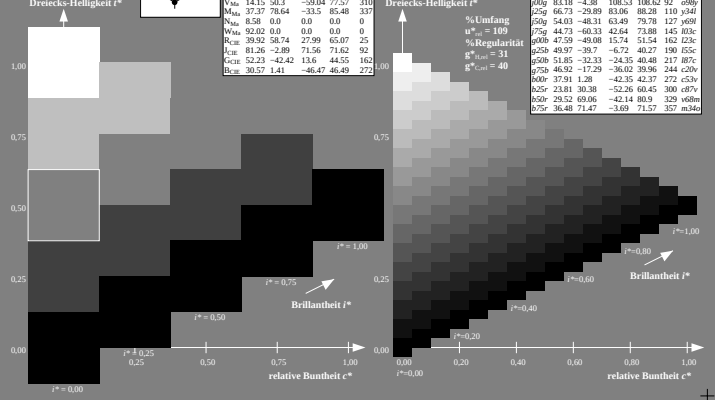

Ein und Ausgabe: Farbmetrisches Drucker-Reflektiv-System FRS09_92, L*=09_92 für relativen CIELAB-Buntton $h^* = lab^*h^* = h_{ab}/360 = 0.679$ $u^*_\epsilon = g75b$

Daten für jede Farbe:
*lab*tch** und *lab*icu**
Bunttontexte:
$u^*_\epsilon = g75b$ $u^*_d = c20v$
Kontrastreduzierungsfaktor:
$c_R = 1.0$
Dreiecks-Helligkeit t^*

FRS09_92a; adaptierte CIELAB-Daten

u^*_ϵ	$L^*_{\epsilon\,CIE}$	a^*_ϵ	b^*_ϵ	$C^*_{ab,\epsilon}$	$h^*_{ab,\epsilon}$
O_{Ma}	35.06	60.0	44.0	74.4	36
Y_{Ma}	83.77	−5.17	109.32	109.44	93
L^*_{Ma}	44.13	−62.67	48.24	79.09	142
C^*_{Ma}	52.66	−29.14	−31.99	43.27	228
V_{Ma}	14.15	50.3	−59.04	77.57	310
M_{Ma}	37.37	78.64	−33.5	85.48	337
N_{Ma}	8.58	0.0	0.0	0.0	0
W_{Ma}	92.02	0.0	0.0	0.0	0
R^*_{CIE}	39.92	58.74	27.99	65.07	25
I^*_{CIE}	81.26	−2.89	71.56	71.62	92
C^*_{CIE}	52.23	−42.42	13.6	44.55	162
B^*_{CIE}	30.57	1.41	−46.47	46.49	272

Daten für Maximalfarbe (Ma):
*LAB*LAB**$_{Ma}$: 47 −17 −36
*LAB*LCH**$_{Ma}$: 47 40 244
*lab*rgb**$_{Ma}$: 0.0 0.5 1.0
*lab*olv**$_{Ma}$: 0.0 0.8 1.0
Dreiecks-Helligkeit t^*

FRS09_92a; adaptierte CIELAB-Daten

u^*_ϵ	$L^*_{\epsilon\,CIE}$	a^*_ϵ	b^*_ϵ	$C^*_{ab,\epsilon}$	$h^*_{ab,\epsilon}$	u^*_d
r00	35.47	63.32	30.17	70.15	25	m81c
r25j	39.12	54.56	49.45	73.64	42	o10y
r50j	50.64	39.15	64.89	75.79	59	o40y
r75j	64.01	21.26	82.83	85.52	76	o60y
j00g	83.18	−4.38	108.53	108.62	92	e98y
j25g	66.73	−29.89	83.06	88.28	110	y34l
j50g	54.03	−48.31	63.49	79.78	127	y69l
j75g	44.73	−60.33	42.64	73.88	145	l03c
g00b	47.59	−49.08	15.74	51.54	162	l23c
g25b	49.97	−39.7	−6.72	40.27	190	l55c
g50b	51.85	−32.33	−24.35	40.48	217	l87c
g75b	46.92	−17.29	−36.02	39.96	244	c20v
b00r	37.91	1.28	−42.35	42.37	272	c53v
b25r	23.81	30.38	−52.26	60.45	300	c87v
b50r	29.52	69.06	−42.14	80.9	329	v68m
b75r	36.48	71.47	−3.69	71.57	357	m34o

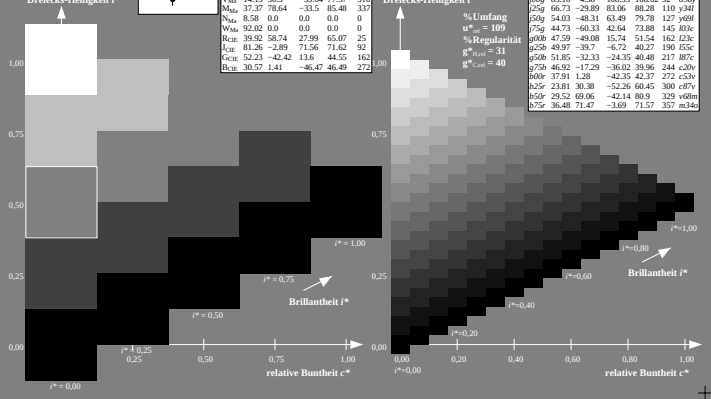

Ein und Ausgabe: Farbmetrisches Drucker-Reflektiv-System FRS09_92, L*=09_92 für relativen CIELAB-Buntton $h^* = lab^*h^* = h_{ab}/360 = 0.755$ $u^*_\epsilon = b00r$

Daten für jede Farbe:
*lab*tch** und *lab*icu**
Bunttontexte:
$u^*_\epsilon = b00r$ $u^*_d = c53v$
Kontrastreduzierungsfaktor:
$c_R = 1.0$
Dreiecks-Helligkeit t^*

FRS09_92a; adaptierte CIELAB-Daten

u^*_ϵ	$L^*_{\epsilon\,CIE}$	a^*_ϵ	b^*_ϵ	$C^*_{ab,\epsilon}$	$h^*_{ab,\epsilon}$
O_{Ma}	35.06	60.0	44.0	74.4	36
Y_{Ma}	83.77	−5.17	109.32	109.44	93
L^*_{Ma}	44.13	−62.67	48.24	79.09	142
C^*_{Ma}	52.66	−29.14	−31.99	43.27	228
V_{Ma}	14.15	50.3	−59.04	77.57	310
M_{Ma}	37.37	78.64	−33.5	85.48	337
N_{Ma}	8.58	0.0	0.0	0.0	0
W_{Ma}	92.02	0.0	0.0	0.0	0
R^*_{CIE}	39.92	58.74	27.99	65.07	25
I^*_{CIE}	81.26	−2.89	71.56	71.62	92
C^*_{CIE}	52.23	−42.42	13.6	44.55	162
B^*_{CIE}	30.57	1.41	−46.47	46.49	272

Daten für Maximalfarbe (Ma):
*LAB*LAB**$_{Ma}$: 38 1 −42
*LAB*LCH**$_{Ma}$: 38 42 271
*lab*rgb**$_{Ma}$: 0.0 0.0 1.0
*lab*olv**$_{Ma}$: 0.0 0.47 1.0
Dreiecks-Helligkeit t^*

FRS09_92a; adaptierte CIELAB-Daten

u^*_ϵ	$L^*_{\epsilon\,CIE}$	a^*_ϵ	b^*_ϵ	$C^*_{ab,\epsilon}$	$h^*_{ab,\epsilon}$	u^*_d
r00	35.47	63.32	30.17	70.15	25	m81c
r25j	39.12	54.56	49.45	73.64	42	o10y
r50j	50.64	39.15	64.89	75.79	59	o40y
r75j	64.01	21.26	82.83	85.52	76	o60y
j00g	83.18	−4.38	108.53	108.62	92	e98y
j25g	66.73	−29.89	83.06	88.28	110	y34l
j50g	54.03	−48.31	63.49	79.78	127	y69l
j75g	44.73	−60.33	42.64	73.88	145	l03c
g00b	47.59	−49.08	15.74	51.54	162	l23c
g25b	49.97	−39.7	−6.72	40.27	190	l55c
g50b	51.85	−32.33	−24.35	40.48	217	l87c
g75b	46.92	−17.29	−36.02	39.96	244	c20v
b00r	37.91	1.28	−42.35	42.37	272	c53v
b25r	23.81	30.38	−52.26	60.45	300	c87v
b50r	29.52	69.06	−42.14	80.9	329	v68m
b75r	36.48	71.47	−3.69	71.57	357	m34o

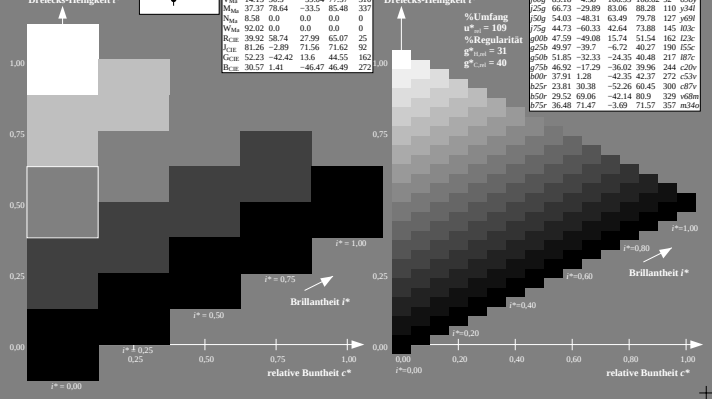

Ein und Ausgabe: Farbmetrisches Drucker-Reflektiv-System FRS09_92, L*=09_92 für relativen CIELAB-Buntton $h^* = lab^*h^* = h_{ab}/360 = 0.834$ $u^*_\epsilon = b25r$

Daten für jede Farbe:
*lab*tch** und *lab*icu**
Bunttontexte:
$u^*_\epsilon = b25r$ $u^*_d = c87v$
Kontrastreduzierungsfaktor:
$c_R = 1.0$
Dreiecks-Helligkeit t^*

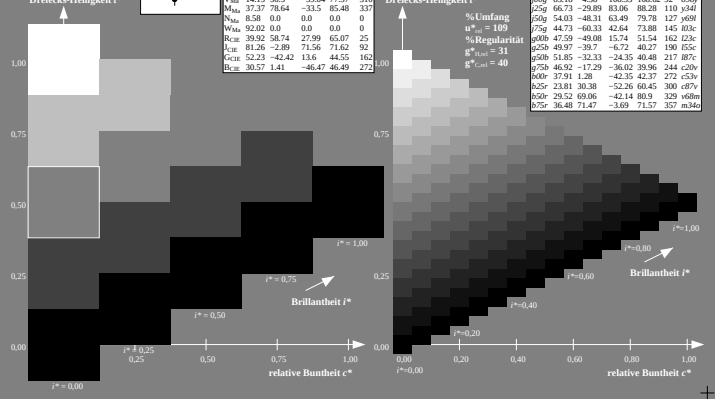

FRS09_92a; adaptierte CIELAB-Daten

u^*_ϵ	$L^*_{\epsilon\,CIE}$	a^*_ϵ	b^*_ϵ	$C^*_{ab,\epsilon}$	$h^*_{ab,\epsilon}$
O_{Ma}	35.06	60.0	44.0	74.4	36
Y_{Ma}	83.77	−5.17	109.32	109.44	93
L^*_{Ma}	44.13	−62.67	48.24	79.09	142
C^*_{Ma}	52.66	−29.14	−31.99	43.27	228
V_{Ma}	14.15	50.3	−59.04	77.57	310
M_{Ma}	37.37	78.64	−33.5	85.48	337
N_{Ma}	8.58	0.0	0.0	0.0	0
W_{Ma}	92.02	0.0	0.0	0.0	0
R^*_{CIE}	39.92	58.74	27.99	65.07	25
I^*_{CIE}	81.26	−2.89	71.56	71.62	92
C^*_{CIE}	52.23	−42.42	13.6	44.55	162
B^*_{CIE}	30.57	1.41	−46.47	46.49	272

Daten für Maximalfarbe (Ma):
*LAB*LAB**$_{Ma}$: 24 30 −52
*LAB*LCH**$_{Ma}$: 24 60 300
*lab*rgb**$_{Ma}$: 0.5 0.0 1.0
*lab*olv**$_{Ma}$: 0.0 0.12 1.0
Dreiecks-Helligkeit t^*

FRS09_92a; adaptierte CIELAB-Daten

u^*_ϵ	$L^*_{\epsilon\,CIE}$	a^*_ϵ	b^*_ϵ	$C^*_{ab,\epsilon}$	$h^*_{ab,\epsilon}$	u^*_d
r00	35.47	63.32	30.17	70.15	25	m81c
r25j	39.12	54.56	49.45	73.64	42	o10y
r50j	50.64	39.15	64.89	75.79	59	o40y
r75j	64.01	21.26	82.83	85.52	76	o60y
j00g	83.18	−4.38	108.53	108.62	92	e98y
j25g	66.73	−29.89	83.06	88.28	110	y34l
j50g	54.03	−48.31	63.49	79.78	127	y69l
j75g	44.73	−60.33	42.64	73.88	145	l03c
g00b	47.59	−49.08	15.74	51.54	162	l23c
g25b	49.97	−39.7	−6.72	40.27	190	l55c
g50b	51.85	−32.33	−24.35	40.48	217	l87c
g75b	46.92	−17.29	−36.02	39.96	244	c20v
b00r	37.91	1.28	−42.35	42.37	272	c53v
b25r	23.81	30.38	−52.26	60.45	300	c87v
b50r	29.52	69.06	−42.14	80.9	329	v68m
b75r	36.48	71.47	−3.69	71.57	357	m34o

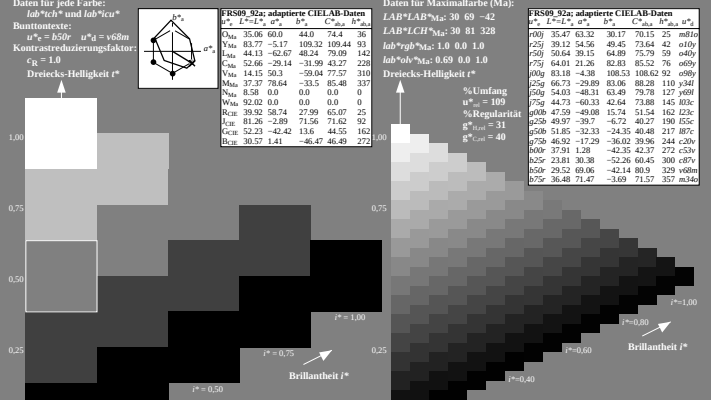

Ein und Ausgabe: Farbmetrisches Drucker-Reflektiv-System FRS09_92, L*=09_92 für relativen CIELAB-Buntton $h^* = lab^*h^* = h_{ab}/360 = 0.913$ $u^*_\epsilon = b50r$

Daten für jede Farbe:
*lab*tch** und *lab*icu**
Bunttontexte:
$u^*_\epsilon = b50r$ $u^*_d = v68m$
Kontrastreduzierungsfaktor:
$c_R = 1.0$
Dreiecks-Helligkeit t^*

FRS09_92a; adaptierte CIELAB-Daten

u^*_ϵ	$L^*_{\epsilon\,CIE}$	a^*_ϵ	b^*_ϵ	$C^*_{ab,\epsilon}$	$h^*_{ab,\epsilon}$
O_{Ma}	35.06	60.0	44.0	74.4	36
Y_{Ma}	83.77	−5.17	109.32	109.44	93
L^*_{Ma}	44.13	−62.67	48.24	79.09	142
C^*_{Ma}	52.66	−29.14	−31.99	43.27	228
V_{Ma}	14.15	50.3	−59.04	77.57	310
M_{Ma}	37.37	78.64	−33.5	85.48	337
N_{Ma}	8.58	0.0	0.0	0.0	0
W_{Ma}	92.02	0.0	0.0	0.0	0
R^*_{CIE}	39.92	58.74	27.99	65.07	25
I^*_{CIE}	81.26	−2.89	71.56	71.62	92
C^*_{CIE}	52.23	−42.42	13.6	44.55	162
B^*_{CIE}	30.57	1.41	−46.47	46.49	272

Daten für Maximalfarbe (Ma):
*LAB*LAB**$_{Ma}$: 30 69 −42
*LAB*LCH**$_{Ma}$: 30 81 328
*lab*rgb**$_{Ma}$: 1.0 0.0 1.0
*lab*olv**$_{Ma}$: 0.69 0.0 1.0
Dreiecks-Helligkeit t^*

FRS09_92a; adaptierte CIELAB-Daten

u^*_ϵ	$L^*_{\epsilon\,CIE}$	a^*_ϵ	b^*_ϵ	$C^*_{ab,\epsilon}$	$h^*_{ab,\epsilon}$	u^*_d
r00	35.47	63.32	30.17	70.15	25	m81c
r25j	39.12	54.56	49.45	73.64	42	o10y
r50j	50.64	39.15	64.89	75.79	59	o40y
r75j	64.01	21.26	82.83	85.52	76	o60y
j00g	83.18	−4.38	108.53	108.62	92	e98y
j25g	66.73	−29.89	83.06	88.28	110	y34l
j50g	54.03	−48.31	63.49	79.78	127	y69l
j75g	44.73	−60.33	42.64	73.88	145	l03c
g00b	47.59	−49.08	15.74	51.54	162	l23c
g25b	49.97	−39.7	−6.72	40.27	190	l55c
g50b	51.85	−32.33	−24.35	40.48	217	l87c
g75b	46.92	−17.29	−36.02	39.96	244	c20v
b00r	37.91	1.28	−42.35	42.37	272	c53v
b25r	23.81	30.38	−52.26	60.45	300	c87v
b50r	29.52	69.06	−42.14	80.9	329	v68m
b75r	36.48	71.47	−3.69	71.57	357	m34o

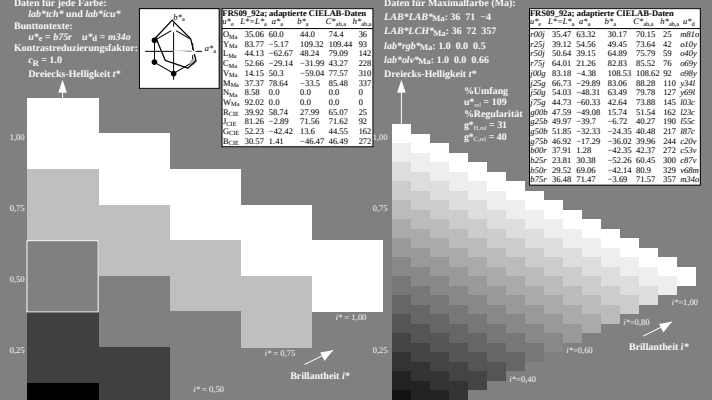

Ein und Ausgabe: Farbmetrisches Drucker-Reflektiv-System FRS09_92, L*=09_92 für relativen CIELAB-Buntton $h^* = lab^*h^* = h_{ab}/360 = 0.992$ $u^*_\epsilon = b75r$

Daten für jede Farbe:
*lab*tch** und *lab*icu**
Bunttontexte:
$u^*_\epsilon = b75r$ $u^*_d = m34o$
Kontrastreduzierungsfaktor:
$c_R = 1.0$
Dreiecks-Helligkeit t^*

FRS09_92a; adaptierte CIELAB-Daten

u^*_ϵ	$L^*_{\epsilon\,CIE}$	a^*_ϵ	b^*_ϵ	$C^*_{ab,\epsilon}$	$h^*_{ab,\epsilon}$
O_{Ma}	35.06	60.0	44.0	74.4	36
Y_{Ma}	83.77	−5.17	109.32	109.44	93
L^*_{Ma}	44.13	−62.67	48.24	79.09	142
C^*_{Ma}	52.66	−29.14	−31.99	43.27	228
V_{Ma}	14.15	50.3	−59.04	77.57	310
M_{Ma}	37.37	78.64	−33.5	85.48	337
N_{Ma}	8.58	0.0	0.0	0.0	0
W_{Ma}	92.02	0.0	0.0	0.0	0
R^*_{CIE}	39.92	58.74	27.99	65.07	25
I^*_{CIE}	81.26	−2.89	71.56	71.62	92
C^*_{CIE}	52.23	−42.42	13.6	44.55	162
B^*_{CIE}	30.57	1.41	−46.47	46.49	272

Daten für Maximalfarbe (Ma):
*LAB*LAB**$_{Ma}$: 36 71 −4
*LAB*LCH**$_{Ma}$: 36 72 357
*lab*rgb**$_{Ma}$: 1.0 0.0 0.5
*lab*olv**$_{Ma}$: 1.0 0.0 0.66
Dreiecks-Helligkeit t^*

FRS09_92a; adaptierte CIELAB-Daten

u^*_ϵ	$L^*_{\epsilon\,CIE}$	a^*_ϵ	b^*_ϵ	$C^*_{ab,\epsilon}$	$h^*_{ab,\epsilon}$	u^*_d
r00	35.47	63.32	30.17	70.15	25	m81c
r25j	39.12	54.56	49.45	73.64	42	o10y
r50j	50.64	39.15	64.89	75.79	59	o40y
r75j	64.01	21.26	82.83	85.52	76	o60y
j00g	83.18	−4.38	108.53	108.62	92	e98y
j25g	66.73	−29.89	83.06	88.28	110	y34l
j50g	54.03	−48.31	63.49	79.78	127	y69l
j75g	44.73	−60.33	42.64	73.88	145	l03c
g00b	47.59	−49.08	15.74	51.54	162	l23c
g25b	49.97	−39.7	−6.72	40.27	190	l55c
g50b	51.85	−32.33	−24.35	40.48	217	l87c
g75b	46.92	−17.29	−36.02	39.96	244	c20v
b00r	37.91	1.28	−42.35	42.37	272	c53v
b25r	23.81	30.38	−52.26	60.45	300	c87v
b50r	29.52	69.06	−42.14	80.9	329	v68m
b75r	36.48	71.47	−3.69	71.57	357	m34o

Ein und Ausgabe: Farbmetrisches Drucker-Reflektiv-System FRS09_92, L*=09_92 für relativen CIELAB-Buntton $h^* = lab^*h^* = h_{ab}/360 = 0.451$ $u^*_\epsilon = g00b$

Daten für jede Farbe:
*lab*tch** und *lab*icu**
Buntontexte:
$u^*_\epsilon = g00b$ $u^*_d = f23c$
Kontrastreduzierungsfaktor:
$c_R = 1.0$
Dreiecks-Helligkeit t^*

FRS09_92a; adaptierte CIELAB-Daten

u^*_ϵ	$L^{*=L^*_\epsilon}$	a^*_ϵ	b^*_ϵ	$C^*_{ab,\epsilon}$	$h^*_{ab,\epsilon}$
O_{Mu}	35.06	60.0	44.0	74.4	36
Y_{Mu}	83.77	−5.17	109.32	109.44	93
L^*_{Mu}	44.13	−62.67	48.24	79.09	142
C^*_{Mu}	52.66	−29.14	−31.99	43.27	228
V_{Mu}	14.15	50.3	−59.04	77.57	310
M_{Mu}	37.37	78.64	−33.5	85.48	337
N_{Mu}	8.58	0.0	0.0	0.0	0
W_{Mu}	92.02	0.0	0.0	0.0	0
R^*_{CIE}	39.92	58.74	27.99	65.07	25
I^*_{CIE}	81.26	−2.89	71.56	71.62	92
C^*_{CIE}	52.23	−42.42	13.6	44.55	162
B^*_{CIE}	30.57	1.41	−46.47	46.49	272

Daten für Maximalfarbe (Ma):
***LAB*LAB*$_{Ma}$*: 48 −49 16**
***LAB*LCH*$_{Ma}$*: 48 52 162**
***lab*rgb*$_{Ma}$*: 0.0 1.0 0.0**
***lab*olv*$_{Ma}$*: 0.0 1.0 0.23**
Dreiecks-Helligkeit t^*

FRS09_92a; adaptierte CIELAB-Daten

u^*_ϵ	$L^{*=L^*_\epsilon}$	a^*_ϵ	b^*_ϵ	$C^*_{ab,\epsilon}$	$h^*_{ab,\epsilon}$	u^*_d
r00	35.47	63.32	30.17	70.15	25	m81c
r25y	39.12	54.56	49.45	73.64	42	o10y
r50y	50.64	39.15	64.89	75.79	59	o40y
r75y	64.01	21.26	82.83	85.52	76	o60y
y00g	83.18	−4.38	108.53	108.62	92	o98y
y25g	66.73	−29.89	83.06	88.28	110	y34f
y50g	54.03	−48.31	63.49	79.78	127	y69f
y75g	44.73	−60.33	42.64	73.88	145	l03c
g00b	47.59	−49.08	15.74	51.54	162	l23c
g25b	49.97	−39.7	−6.72	40.27	190	l55c
g50b	51.85	−32.33	−24.35	40.48	217	l87c
g75b	46.92	−17.29	−36.02	39.96	244	c20v
b00r	37.91	1.28	−42.35	42.37	272	c53v
b25r	23.81	30.38	−52.26	60.45	300	c87v
b50r	29.52	69.06	−42.14	80.9	329	v68m
b75r	36.48	71.47	−3.69	71.57	357	m34o

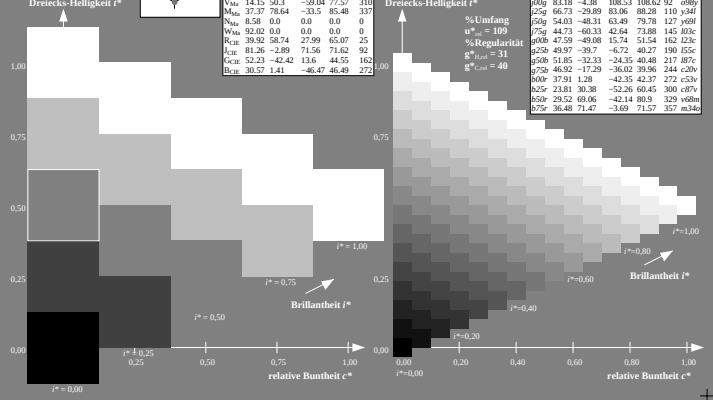

Ein und Ausgabe: Farbmetrisches Drucker-Reflektiv-System FRS09_92, L*=09_92 für relativen CIELAB-Buntton $h^* = lab^*h^* = h_{ab}/360 = 0.527$ $u^*_\epsilon = g25b$

Daten für jede Farbe:
*lab*tch** und *lab*icu**
Buntontexte:
$u^*_\epsilon = g25b$ $u^*_d = f55c$
Kontrastreduzierungsfaktor:
$c_R = 1.0$
Dreiecks-Helligkeit t^*

FRS09_92a; adaptierte CIELAB-Daten

u^*_ϵ	$L^{*=L^*_\epsilon}$	a^*_ϵ	b^*_ϵ	$C^*_{ab,\epsilon}$	$h^*_{ab,\epsilon}$
O_{Mu}	35.06	60.0	44.0	74.4	36
Y_{Mu}	83.77	−5.17	109.32	109.44	93
L^*_{Mu}	44.13	−62.67	48.24	79.09	142
C^*_{Mu}	52.66	−29.14	−31.99	43.27	228
V_{Mu}	14.15	50.3	−59.04	77.57	310
M_{Mu}	37.37	78.64	−33.5	85.48	337
N_{Mu}	8.58	0.0	0.0	0.0	0
W_{Mu}	92.02	0.0	0.0	0.0	0
R^*_{CIE}	39.92	58.74	27.99	65.07	25
I^*_{CIE}	81.26	−2.89	71.56	71.62	92
C^*_{CIE}	52.23	−42.42	13.6	44.55	162
B^*_{CIE}	30.57	1.41	−46.47	46.49	272

Daten für Maximalfarbe (Ma):
***LAB*LAB*$_{Ma}$*: 50 −40 −7**
***LAB*LCH*$_{Ma}$*: 50 40 189**
***lab*rgb*$_{Ma}$*: 0.0 1.0 0.5**
***lab*olv*$_{Ma}$*: 0.0 1.0 0.55**
Dreiecks-Helligkeit t^*

FRS09_92a; adaptierte CIELAB-Daten

u^*_ϵ	$L^{*=L^*_\epsilon}$	a^*_ϵ	b^*_ϵ	$C^*_{ab,\epsilon}$	$h^*_{ab,\epsilon}$	u^*_d
r00	35.47	63.32	30.17	70.15	25	m81c
r25y	39.12	54.56	49.45	73.64	42	o10y
r50y	50.64	39.15	64.89	75.79	59	o40y
r75y	64.01	21.26	82.83	85.52	76	o60y
y00g	83.18	−4.38	108.53	108.62	92	o98y
y25g	66.73	−29.89	83.06	88.28	110	y34f
y50g	54.03	−48.31	63.49	79.78	127	y69f
y75g	44.73	−60.33	42.64	73.88	145	l03c
g00b	47.59	−49.08	15.74	51.54	162	l23c
g25b	49.97	−39.7	−6.72	40.27	190	l55c
g50b	51.85	−32.33	−24.35	40.48	217	l87c
g75b	46.92	−17.29	−36.02	39.96	244	c20v
b00r	37.91	1.28	−42.35	42.37	272	c53v
b25r	23.81	30.38	−52.26	60.45	300	c87v
b50r	29.52	69.06	−42.14	80.9	329	v68m
b75r	36.48	71.47	−3.69	71.57	357	m34o

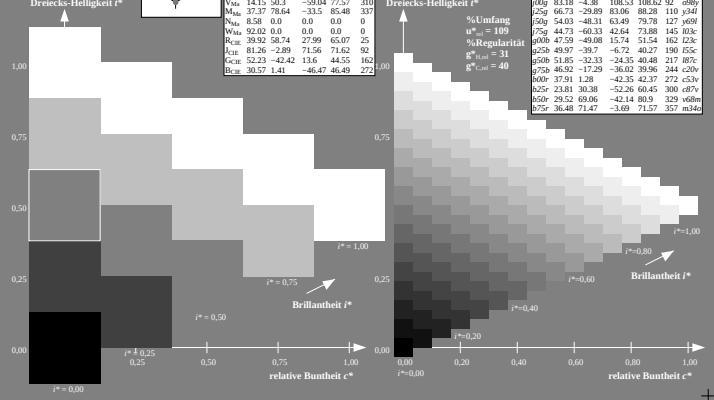

Ein und Ausgabe: Farbmetrisches Drucker-Reflektiv-System FRS09_92, L*=09_92 für relativen CIELAB-Buntton $h^* = lab^*h^* = h_{ab}/360 = 0.603$ $u^*_\epsilon = g50b$

Daten für jede Farbe:
*lab*tch** und *lab*icu**
Buntontexte:
$u^*_\epsilon = g50b$ $u^*_d = l87c$
Kontrastreduzierungsfaktor:
$c_R = 1.0$
Dreiecks-Helligkeit t^*

FRS09_92a; adaptierte CIELAB-Daten

u^*_ϵ	$L^{*=L^*_\epsilon}$	a^*_ϵ	b^*_ϵ	$C^*_{ab,\epsilon}$	$h^*_{ab,\epsilon}$
O_{Mu}	35.06	60.0	44.0	74.4	36
Y_{Mu}	83.77	−5.17	109.32	109.44	93
L^*_{Mu}	44.13	−62.67	48.24	79.09	142
C^*_{Mu}	52.66	−29.14	−31.99	43.27	228
V_{Mu}	14.15	50.3	−59.04	77.57	310
M_{Mu}	37.37	78.64	−33.5	85.48	337
N_{Mu}	8.58	0.0	0.0	0.0	0
W_{Mu}	92.02	0.0	0.0	0.0	0
R^*_{CIE}	39.92	58.74	27.99	65.07	25
I^*_{CIE}	81.26	−2.89	71.56	71.62	92
C^*_{CIE}	52.23	−42.42	13.6	44.55	162
B^*_{CIE}	30.57	1.41	−46.47	46.49	272

Daten für Maximalfarbe (Ma):
***LAB*LAB*$_{Ma}$*: 52 −32 −24**
***LAB*LCH*$_{Ma}$*: 52 40 216**
***lab*rgb*$_{Ma}$*: 0.0 1.0 1.0**
***lab*olv*$_{Ma}$*: 0.0 1.0 0.87**
Dreiecks-Helligkeit t^*

FRS09_92a; adaptierte CIELAB-Daten

u^*_ϵ	$L^{*=L^*_\epsilon}$	a^*_ϵ	b^*_ϵ	$C^*_{ab,\epsilon}$	$h^*_{ab,\epsilon}$	u^*_d
r00	35.47	63.32	30.17	70.15	25	m81c
r25y	39.12	54.56	49.45	73.64	42	o10y
r50y	50.64	39.15	64.89	75.79	59	o40y
r75y	64.01	21.26	82.83	85.52	76	o60y
y00g	83.18	−4.38	108.53	108.62	92	o98y
y25g	66.73	−29.89	83.06	88.28	110	y34f
y50g	54.03	−48.31	63.49	79.78	127	y69f
y75g	44.73	−60.33	42.64	73.88	145	l03c
g00b	47.59	−49.08	15.74	51.54	162	l23c
g25b	49.97	−39.7	−6.72	40.27	190	l55c
g50b	51.85	−32.33	−24.35	40.48	217	l87c
g75b	46.92	−17.29	−36.02	39.96	244	c20v
b00r	37.91	1.28	−42.35	42.37	272	c53v
b25r	23.81	30.38	−52.26	60.45	300	c87v
b50r	29.52	69.06	−42.14	80.9	329	v68m
b75r	36.48	71.47	−3.69	71.57	357	m34o

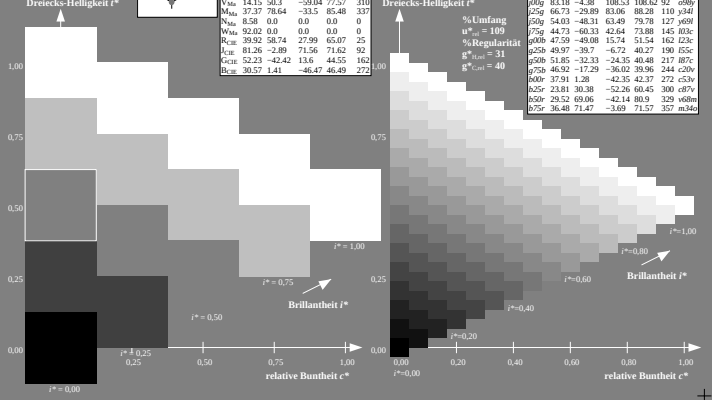

Ein und Ausgabe: Farbmetrisches Drucker-Reflektiv-System FRS09_92, L*=09_92 für relativen CIELAB-Buntton $h^* = lab^*h^* = h_{ab}/360 = 0.679$ $u^*_\epsilon = g75b$

Daten für jede Farbe:
*lab*tch** und *lab*icu**
Buntontexte:
$u^*_\epsilon = g75b$ $u^*_d = c20v$
Kontrastreduzierungsfaktor:
$c_R = 1.0$
Dreiecks-Helligkeit t^*

FRS09_92a; adaptierte CIELAB-Daten

u^*_ϵ	$L^{*=L^*_\epsilon}$	a^*_ϵ	b^*_ϵ	$C^*_{ab,\epsilon}$	$h^*_{ab,\epsilon}$
O_{Mu}	35.06	60.0	44.0	74.4	36
Y_{Mu}	83.77	−5.17	109.32	109.44	93
L^*_{Mu}	44.13	−62.67	48.24	79.09	142
C^*_{Mu}	52.66	−29.14	−31.99	43.27	228
V_{Mu}	14.15	50.3	−59.04	77.57	310
M_{Mu}	37.37	78.64	−33.5	85.48	337
N_{Mu}	8.58	0.0	0.0	0.0	0
W_{Mu}	92.02	0.0	0.0	0.0	0
R^*_{CIE}	39.92	58.74	27.99	65.07	25
I^*_{CIE}	81.26	−2.89	71.56	71.62	92
C^*_{CIE}	52.23	−42.42	13.6	44.55	162
B^*_{CIE}	30.57	1.41	−46.47	46.49	272

Daten für Maximalfarbe (Ma):
***LAB*LAB*$_{Ma}$*: 47 −17 −36**
***LAB*LCH*$_{Ma}$*: 47 40 244**
***lab*rgb*$_{Ma}$*: 0.0 0.5 1.0**
***lab*olv*$_{Ma}$*: 0.0 0.8 1.0**
Dreiecks-Helligkeit t^*

FRS09_92a; adaptierte CIELAB-Daten

u^*_ϵ	$L^{*=L^*_\epsilon}$	a^*_ϵ	b^*_ϵ	$C^*_{ab,\epsilon}$	$h^*_{ab,\epsilon}$	u^*_d
r00	35.47	63.32	30.17	70.15	25	m81c
r25y	39.12	54.56	49.45	73.64	42	o10y
r50y	50.64	39.15	64.89	75.79	59	o40y
r75y	64.01	21.26	82.83	85.52	76	o60y
y00g	83.18	−4.38	108.53	108.62	92	o98y
y25g	66.73	−29.89	83.06	88.28	110	y34f
y50g	54.03	−48.31	63.49	79.78	127	y69f
y75g	44.73	−60.33	42.64	73.88	145	l03c
g00b	47.59	−49.08	15.74	51.54	162	l23c
g25b	49.97	−39.7	−6.72	40.27	190	l55c
g50b	51.85	−32.33	−24.35	40.48	217	l87c
g75b	46.92	−17.29	−36.02	39.96	244	c20v
b00r	37.91	1.28	−42.35	42.37	272	c53v
b25r	23.81	30.38	−52.26	60.45	300	c87v
b50r	29.52	69.06	−42.14	80.9	329	v68m
b75r	36.48	71.47	−3.69	71.57	357	m34o

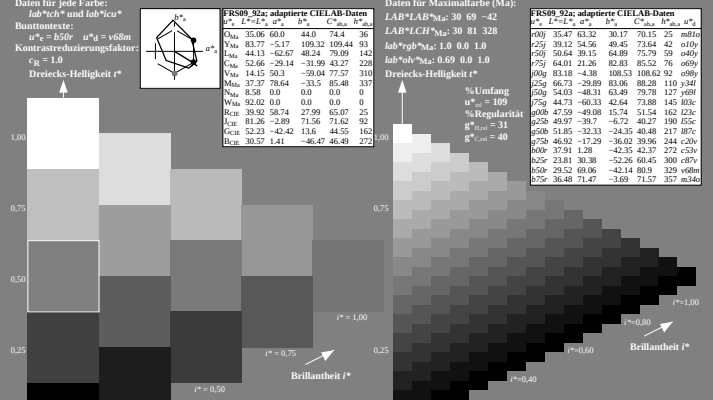

Ein und Ausgabe: Farbmetrisches Drucker-Reflektiv-System FRS09_92, L*=09_92 für relativen CIELAB-Buntton $h^* = lab^*h^* = h_{ab}/360 = 0.755$ $u^*_\epsilon = b00r$

Daten für jede Farbe:
*lab*tch** und *lab*icu**
Buntontexte:
$u^*_\epsilon = b00r$ $u^*_d = c53v$
Kontrastreduzierungsfaktor:
$c_R = 1.0$
Dreiecks-Helligkeit t^*

FRS09_92a; adaptierte CIELAB-Daten

u^*_ϵ	$L^{*=L^*_\epsilon}$	a^*_ϵ	b^*_ϵ	$C^*_{ab,\epsilon}$	$h^*_{ab,\epsilon}$
O_{Mu}	35.06	60.0	44.0	74.4	36
Y_{Mu}	83.77	−5.17	109.32	109.44	93
L^*_{Mu}	44.13	−62.67	48.24	79.09	142
C^*_{Mu}	52.66	−29.14	−31.99	43.27	228
V_{Mu}	14.15	50.3	−59.04	77.57	310
M_{Mu}	37.37	78.64	−33.5	85.48	337
N_{Mu}	8.58	0.0	0.0	0.0	0
W_{Mu}	92.02	0.0	0.0	0.0	0
R^*_{CIE}	39.92	58.74	27.99	65.07	25
I^*_{CIE}	81.26	−2.89	71.56	71.62	92
C^*_{CIE}	52.23	−42.42	13.6	44.55	162
B^*_{CIE}	30.57	1.41	−46.47	46.49	272

Daten für Maximalfarbe (Ma):
***LAB*LAB*$_{Ma}$*: 38 1 −42**
***LAB*LCH*$_{Ma}$*: 38 42 271**
***lab*rgb*$_{Ma}$*: 0.0 0.0 1.0**
***lab*olv*$_{Ma}$*: 0.0 0.47 1.0**
Dreiecks-Helligkeit t^*

FRS09_92a; adaptierte CIELAB-Daten

u^*_ϵ	$L^{*=L^*_\epsilon}$	a^*_ϵ	b^*_ϵ	$C^*_{ab,\epsilon}$	$h^*_{ab,\epsilon}$	u^*_d
r00	35.47	63.32	30.17	70.15	25	m81c
r25y	39.12	54.56	49.45	73.64	42	o10y
r50y	50.64	39.15	64.89	75.79	59	o40y
r75y	64.01	21.26	82.83	85.52	76	o60y
y00g	83.18	−4.38	108.53	108.62	92	o98y
y25g	66.73	−29.89	83.06	88.28	110	y34f
y50g	54.03	−48.31	63.49	79.78	127	y69f
y75g	44.73	−60.33	42.64	73.88	145	l03c
g00b	47.59	−49.08	15.74	51.54	162	l23c
g25b	49.97	−39.7	−6.72	40.27	190	l55c
g50b	51.85	−32.33	−24.35	40.48	217	l87c
g75b	46.92	−17.29	−36.02	39.96	244	c20v
b00r	37.91	1.28	−42.35	42.37	272	c53v
b25r	23.81	30.38	−52.26	60.45	300	c87v
b50r	29.52	69.06	−42.14	80.9	329	v68m
b75r	36.48	71.47	−3.69	71.57	357	m34o

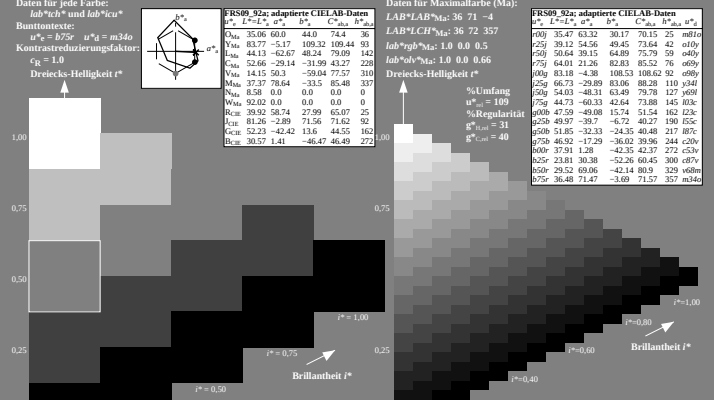

Ein und Ausgabe: Farbmetrisches Drucker-Reflektiv-System FRS09_92, L*=09_92 für relativen CIELAB-Buntton $h^* = lab^*h^* = h_{ab}/360 = 0.834$ $u^*_\epsilon = b25r$

Daten für jede Farbe:
*lab*tch** und *lab*icu**
Buntontexte:
$u^*_\epsilon = b25r$ $u^*_d = c87v$
Kontrastreduzierungsfaktor:
$c_R = 1.0$
Dreiecks-Helligkeit t^*

FRS09_92a; adaptierte CIELAB-Daten

u^*_ϵ	$L^{*=L^*_\epsilon}$	a^*_ϵ	b^*_ϵ	$C^*_{ab,\epsilon}$	$h^*_{ab,\epsilon}$
O_{Mu}	35.06	60.0	44.0	74.4	36
Y_{Mu}	83.77	−5.17	109.32	109.44	93
L^*_{Mu}	44.13	−62.67	48.24	79.09	142
C^*_{Mu}	52.66	−29.14	−31.99	43.27	228
V_{Mu}	14.15	50.3	−59.04	77.57	310
M_{Mu}	37.37	78.64	−33.5	85.48	337
N_{Mu}	8.58	0.0	0.0	0.0	0
W_{Mu}	92.02	0.0	0.0	0.0	0
R^*_{CIE}	39.92	58.74	27.99	65.07	25
I^*_{CIE}	81.26	−2.89	71.56	71.62	92
C^*_{CIE}	52.23	−42.42	13.6	44.55	162
B^*_{CIE}	30.57	1.41	−46.47	46.49	272

Daten für Maximalfarbe (Ma):
***LAB*LAB*$_{Ma}$*: 24 30 −52**
***LAB*LCH*$_{Ma}$*: 24 60 300**
***lab*rgb*$_{Ma}$*: 0.5 0.0 1.0**
***lab*olv*$_{Ma}$*: 0.0 0.12 1.0**
Dreiecks-Helligkeit t^*

FRS09_92a; adaptierte CIELAB-Daten

u^*_ϵ	$L^{*=L^*_\epsilon}$	a^*_ϵ	b^*_ϵ	$C^*_{ab,\epsilon}$	$h^*_{ab,\epsilon}$	u^*_d
r00	35.47	63.32	30.17	70.15	25	m81c
r25y	39.12	54.56	49.45	73.64	42	o10y
r50y	50.64	39.15	64.89	75.79	59	o40y
r75y	64.01	21.26	82.83	85.52	76	o60y
y00g	83.18	−4.38	108.53	108.62	92	o98y
y25g	66.73	−29.89	83.06	88.28	110	y34f
y50g	54.03	−48.31	63.49	79.78	127	y69f
y75g	44.73	−60.33	42.64	73.88	145	l03c
g00b	47.59	−49.08	15.74	51.54	162	l23c
g25b	49.97	−39.7	−6.72	40.27	190	l55c
g50b	51.85	−32.33	−24.35	40.48	217	l87c
g75b	46.92	−17.29	−36.02	39.96	244	c20v
b00r	37.91	1.28	−42.35	42.37	272	c53v
b25r	23.81	30.38	−52.26	60.45	300	c87v
b50r	29.52	69.06	−42.14	80.9	329	v68m
b75r	36.48	71.47	−3.69	71.57	357	m34o

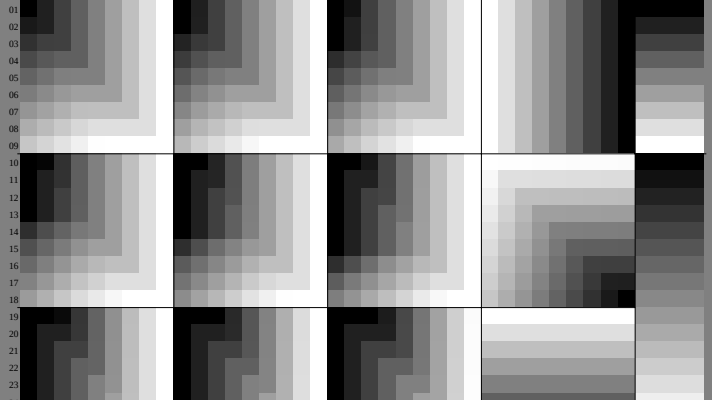

Ein und Ausgabe: Farbmetrisches Drucker-Reflektiv-System FRS09_92, L*=09_92 für relativen CIELAB-Buntton $h^* = lab^*h^* = h_{ab}/360 = 0.913$ $u^*_\epsilon = b50r$

Daten für jede Farbe:
*lab*tch** und *lab*icu**
Buntontexte:
$u^*_\epsilon = b50r$ $u^*_d = v68m$
Kontrastreduzierungsfaktor:
$c_R = 1.0$
Dreiecks-Helligkeit t^*

FRS09_92a; adaptierte CIELAB-Daten

u^*_ϵ	$L^{*=L^*_\epsilon}$	a^*_ϵ	b^*_ϵ	$C^*_{ab,\epsilon}$	$h^*_{ab,\epsilon}$
O_{Mu}	35.06	60.0	44.0	74.4	36
Y_{Mu}	83.77	−5.17	109.32	109.44	93
L^*_{Mu}	44.13	−62.67	48.24	79.09	142
C^*_{Mu}	52.66	−29.14	−31.99	43.27	228
V_{Mu}	14.15	50.3	−59.04	77.57	310
M_{Mu}	37.37	78.64	−33.5	85.48	337
N_{Mu}	8.58	0.0	0.0	0.0	0
W_{Mu}	92.02	0.0	0.0	0.0	0
R^*_{CIE}	39.92	58.74	27.99	65.07	25
I^*_{CIE}	81.26	−2.89	71.56	71.62	92
C^*_{CIE}	52.23	−42.42	13.6	44.55	162
B^*_{CIE}	30.57	1.41	−46.47	46.49	272

Daten für Maximalfarbe (Ma):
***LAB*LAB*$_{Ma}$*: 30 69 −42**
***LAB*LCH*$_{Ma}$*: 30 81 328**
***lab*rgb*$_{Ma}$*: 1.0 0.0 1.0**
***lab*olv*$_{Ma}$*: 0.69 0.0 1.0**
Dreiecks-Helligkeit t^*

FRS09_92a; adaptierte CIELAB-Daten

u^*_ϵ	$L^{*=L^*_\epsilon}$	a^*_ϵ	b^*_ϵ	$C^*_{ab,\epsilon}$	$h^*_{ab,\epsilon}$	u^*_d
r00	35.47	63.32	30.17	70.15	25	m81c
r25y	39.12	54.56	49.45	73.64	42	o10y
r50y	50.64	39.15	64.89	75.79	59	o40y
r75y	64.01	21.26	82.83	85.52	76	o60y
y00g	83.18	−4.38	108.53	108.62	92	o98y
y25g	66.73	−29.89	83.06	88.28	110	y34f
y50g	54.03	−48.31	63.49	79.78	127	y69f
y75g	44.73	−60.33	42.64	73.88	145	l03c
g00b	47.59	−49.08	15.74	51.54	162	l23c
g25b	49.97	−39.7	−6.72	40.27	190	l55c
g50b	51.85	−32.33	−24.35	40.48	217	l87c
g75b	46.92	−17.29	−36.02	39.96	244	c20v
b00r	37.91	1.28	−42.35	42.37	272	c53v
b25r	23.81	30.38	−52.26	60.45	300	c87v
b50r	29.52	69.06	−42.14	80.9	329	v68m
b75r	36.48	71.47	−3.69	71.57	357	m34o

Ein und Ausgabe: Farbmetrisches Drucker-Reflektiv-System FRS09_92, L*=09_92 für relativen CIELAB-Buntton $h^* = lab^*h^* = h_{ab}/360 = 0.992$ $u^*_\epsilon = b75r$

Daten für jede Farbe:
*lab*tch** und *lab*icu**
Buntontexte:
$u^*_\epsilon = b75r$ $u^*_d = m34o$
Kontrastreduzierungsfaktor:
$c_R = 1.0$
Dreiecks-Helligkeit t^*

FRS09_92a; adaptierte CIELAB-Daten

u^*_ϵ	$L^{*=L^*_\epsilon}$	a^*_ϵ	b^*_ϵ	$C^*_{ab,\epsilon}$	$h^*_{ab,\epsilon}$
O_{Mu}	35.06	60.0	44.0	74.4	36
Y_{Mu}	83.77	−5.17	109.32	109.44	93
L^*_{Mu}	44.13	−62.67	48.24	79.09	142
C^*_{Mu}	52.66	−29.14	−31.99	43.27	228
V_{Mu}	14.15	50.3	−59.04	77.57	310
M_{Mu}	37.37	78.64	−33.5	85.48	337
N_{Mu}	8.58	0.0	0.0	0.0	0
W_{Mu}	92.02	0.0	0.0	0.0	0
R^*_{CIE}	39.92	58.74	27.99	65.07	25
I^*_{CIE}	81.26	−2.89	71.56	71.62	92
C^*_{CIE}	52.23	−42.42	13.6	44.55	162
B^*_{CIE}	30.57	1.41	−46.47	46.49	272

Daten für Maximalfarbe (Ma):
***LAB*LAB*$_{Ma}$*: 36 71 −4**
***LAB*LCH*$_{Ma}$*: 36 72 357**
***lab*rgb*$_{Ma}$*: 1.0 0.0 0.5**
***lab*olv*$_{Ma}$*: 1.0 0.0 0.66**
Dreiecks-Helligkeit t^*

FRS09_92a; adaptierte CIELAB-Daten

u^*_ϵ	$L^{*=L^*_\epsilon}$	a^*_ϵ	b^*_ϵ	$C^*_{ab,\epsilon}$	$h^*_{ab,\epsilon}$	u^*_d
r00	35.47	63.32	30.17	70.15	25	m81c
r25y	39.12	54.56	49.45	73.64	42	o10y
r50y	50.64	39.15	64.89	75.79	59	o40y
r75y	64.01	21.26	82.83	85.52	76	o60y
y00g	83.18	−4.38	108.53	108.62	92	o98y
y25g	66.73	−29.89	83.06	88.28	110	y34f
y50g	54.03	−48.31	63.49	79.78	127	y69f
y75g	44.73	−60.33	42.64	73.88	145	l03c
g00b	47.59	−49.08	15.74	51.54	162	l23c
g25b	49.97	−39.7	−6.72	40.27	190	l55c
g50b	51.85	−32.33	−24.35	40.48	217	l87c
g75b	46.92	−17.29	−36.02	39.96	244	c20v
b00r	37.91	1.28	−42.35	42.37	272	c53v
b25r	23.81	30.38	−52.26	60.45	300	c87v
b50r	29.52	69.06	−42.14	80.9	329	v68m
b75r	36.48	71.47	−3.69	71.57	357	m34o

Ein und Ausgabe: Farbmetrisches Drucker-Reflektiv-System FRS09_92, L*=09_92 für relativen CIELAB-Buntton $h^* = lab^*h^* = h_{ab}/360 = 0.451$ $u^*_\epsilon = g00b$

Daten für jede Farbe:
*lab*tch** und *lab*icu**
Bunttontexte:
$u^*_\epsilon = g00b$ $u^*_d = f23c$
Kontrastreduzierungsfaktor:
$c_R = 1.0$
Dreiecks-Helligkeit t^*

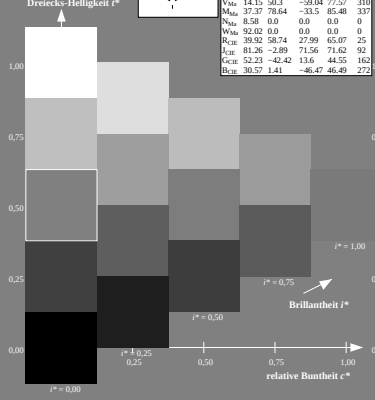

Daten für Maximalfarbe (Ma):
*LAB*LAB**$_{Ma}$: 48 −49 16
*LAB*LCH**$_{Ma}$: 48 52 162
*lab*rgb**$_{Ma}$: 0.0 1.0 0.0
*lab*olv**$_{Ma}$: 0.0 1.0 0.23
Dreiecks-Helligkeit t^*

%Umfang
u^*_{sp} = 109
%Regularität
$g^*_{H,rel}$ = 31
$g^*_{C,rel}$ = 40

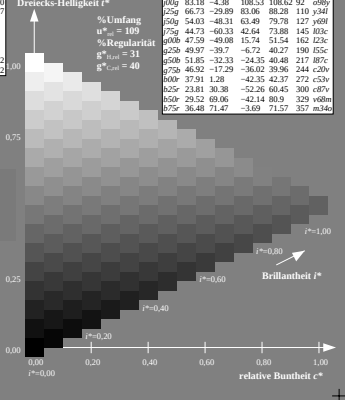

FRS09_92a; adaptierte CIELAB-Daten

	L^*_{CIE}	L^*_{CIE}	a^*_{CIE}	b^*_{CIE}	$C^*_{ab,a}$	$h^*_{ab,a}$	
O_{Ma}	35.06	60.0	44.0	74.4	36		
Y_{Ma}	83.77	−5.17	109.32	109.44	93		
L^*_{Ma}	44.13	−62.67	48.24	79.09	142		
C^*_{Ma}	52.66	−29.14	−31.99	43.27	228		
V_{Ma}	14.15	50.3	−59.04	77.57	310		
M_{Ma}	37.37	78.64	−33.5	85.48	337		
N_{Ma}	8.58	0.0	0.0	0.0	0		
W_{Ma}	92.02	0.0	0.0	0.0	0		
R^*_{CIE}	39.92	58.74	27.99	65.07	25		
I^*_{CIE}	81.26	−2.89	71.56	71.62	92		
C^*_{CIE}	52.23	−42.42	13.6	44.55	162		
B^*_{CIE}	30.57	1.41	−46.47	46.49	272		
r00	35.47	63.32	30.17	70.15	25		m81c
r25j	39.12	54.56	49.45	73.64	42		o10y
r50j	50.64	39.15	64.89	75.79	59		o40y
r75j	64.01	21.26	82.83	85.52	76		o60y
j00g	83.18	−4.38	108.53	108.62	92		o98y
j25g	66.73	−29.89	83.06	88.28	110		y34l
j50g	54.03	−48.31	63.49	79.78	127		y69l
j75g	44.73	−60.33	42.64	73.88	145		l03c
g00b	47.59	−49.08	15.74	51.54	162		l23c
g25b	49.97	−39.7	−6.72	40.27	190		l55c
g50b	51.85	−32.33	−24.35	40.48	217		l87c
g75b	46.92	−17.29	−36.02	39.96	244		c20v
b00r	37.91	1.28	−42.35	42.37	272		c53v
b25r	23.81	30.38	−52.26	60.45	300		c87v
b50r	29.52	69.06	−42.14	80.9	329		v68m
b75r	36.48	71.47	−3.69	71.57	357		m34o

Ein und Ausgabe: Farbmetrisches Drucker-Reflektiv-System FRS09_92, L*=09_92 für relativen CIELAB-Buntton $h^* = lab^*h^* = h_{ab}/360 = 0.527$ $u^*_\epsilon = g25b$

Daten für jede Farbe:
*lab*tch** und *lab*icu**
Bunttontexte:
$u^*_\epsilon = g25b$ $u^*_d = f55c$
Kontrastreduzierungsfaktor:
$c_R = 1.0$
Dreiecks-Helligkeit t^*

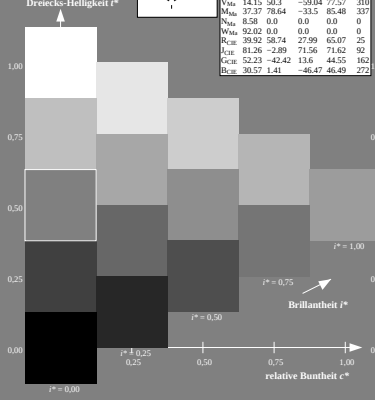

Daten für Maximalfarbe (Ma):
*LAB*LAB**$_{Ma}$: 50 −40 −7
*LAB*LCH**$_{Ma}$: 50 40 189
*lab*rgb**$_{Ma}$: 0.0 1.0 0.5
*lab*olv**$_{Ma}$: 0.0 1.0 0.55
Dreiecks-Helligkeit t^*

%Umfang
u^*_{sp} = 109
%Regularität
$g^*_{H,rel}$ = 31
$g^*_{C,rel}$ = 40

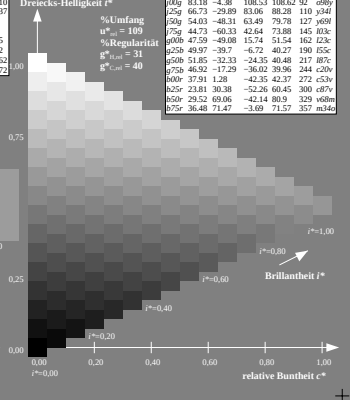

FRS09_92a; adaptierte CIELAB-Daten

	L^*_{CIE}	L^*_{CIE}	a^*_{CIE}	b^*_{CIE}	$C^*_{ab,a}$	$h^*_{ab,a}$	
O_{Ma}	35.06	60.0	44.0	74.4	36		
Y_{Ma}	83.77	−5.17	109.32	109.44	93		
L^*_{Ma}	44.13	−62.67	48.24	79.09	142		
C^*_{Ma}	52.66	−29.14	−31.99	43.27	228		
V_{Ma}	14.15	50.3	−59.04	77.57	310		
M_{Ma}	37.37	78.64	−33.5	85.48	337		
N_{Ma}	8.58	0.0	0.0	0.0	0		
W_{Ma}	92.02	0.0	0.0	0.0	0		
R^*_{CIE}	39.92	58.74	27.99	65.07	25		
I^*_{CIE}	81.26	−2.89	71.56	71.62	92		
C^*_{CIE}	52.23	−42.42	13.6	44.55	162		
B^*_{CIE}	30.57	1.41	−46.47	46.49	272		
r00	35.47	63.32	30.17	70.15	25		m81c
r25j	39.12	54.56	49.45	73.64	42		o10y
r50j	50.64	39.15	64.89	75.79	59		o40y
r75j	64.01	21.26	82.83	85.52	76		o60y
j00g	83.18	−4.38	108.53	108.62	92		o98y
j25g	66.73	−29.89	83.06	88.28	110		y34l
j50g	54.03	−48.31	63.49	79.78	127		y69l
j75g	44.73	−60.33	42.64	73.88	145		l03c
g00b	47.59	−49.08	15.74	51.54	162		l23c
g25b	49.97	−39.7	−6.72	40.27	190		l55c
g50b	51.85	−32.33	−24.35	40.48	217		l87c
g75b	46.92	−17.29	−36.02	39.96	244		c20v
b00r	37.91	1.28	−42.35	42.37	272		c53v
b25r	23.81	30.38	−52.26	60.45	300		c87v
b50r	29.52	69.06	−42.14	80.9	329		v68m
b75r	36.48	71.47	−3.69	71.57	357		m34o

Ein und Ausgabe: Farbmetrisches Drucker-Reflektiv-System FRS09_92, L*=09_92 für relativen CIELAB-Buntton $h^* = lab^*h^* = h_{ab}/360 = 0.603$ $u^*_\epsilon = g50b$

Daten für jede Farbe:
*lab*tch** und *lab*icu**
Bunttontexte:
$u^*_\epsilon = g50b$ $u^*_d = l87c$
Kontrastreduzierungsfaktor:
$c_R = 1.0$
Dreiecks-Helligkeit t^*

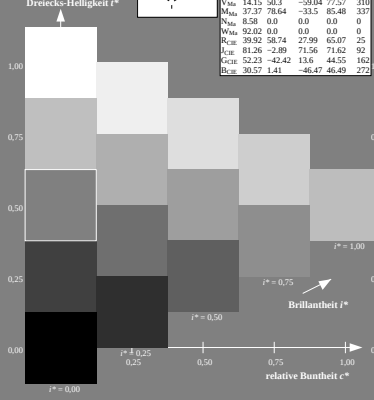

Daten für Maximalfarbe (Ma):
*LAB*LAB**$_{Ma}$: 52 −32 −24
*LAB*LCH**$_{Ma}$: 52 40 216
*lab*rgb**$_{Ma}$: 0.0 1.0 1.0
*lab*olv**$_{Ma}$: 0.0 1.0 0.87
Dreiecks-Helligkeit t^*

%Umfang
u^*_{sp} = 109
%Regularität
$g^*_{H,rel}$ = 31
$g^*_{C,rel}$ = 40

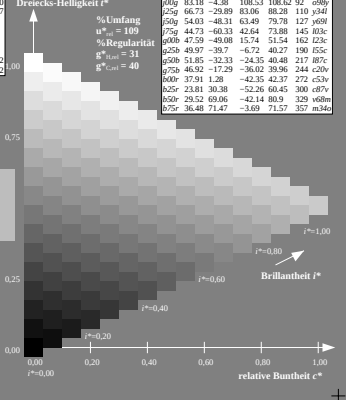

FRS09_92a; adaptierte CIELAB-Daten

	L^*_{CIE}	L^*_{CIE}	a^*_{CIE}	b^*_{CIE}	$C^*_{ab,a}$	$h^*_{ab,a}$	
O_{Ma}	35.06	60.0	44.0	74.4	36		
Y_{Ma}	83.77	−5.17	109.32	109.44	93		
L^*_{Ma}	44.13	−62.67	48.24	79.09	142		
C^*_{Ma}	52.66	−29.14	−31.99	43.27	228		
V_{Ma}	14.15	50.3	−59.04	77.57	310		
M_{Ma}	37.37	78.64	−33.5	85.48	337		
N_{Ma}	8.58	0.0	0.0	0.0	0		
W_{Ma}	92.02	0.0	0.0	0.0	0		
R^*_{CIE}	39.92	58.74	27.99	65.07	25		
I^*_{CIE}	81.26	−2.89	71.56	71.62	92		
C^*_{CIE}	52.23	−42.42	13.6	44.55	162		
B^*_{CIE}	30.57	1.41	−46.47	46.49	272		
r00	35.47	63.32	30.17	70.15	25		m81c
r25j	39.12	54.56	49.45	73.64	42		o10y
r50j	50.64	39.15	64.89	75.79	59		o40y
r75j	64.01	21.26	82.83	85.52	76		o60y
j00g	83.18	−4.38	108.53	108.62	92		o98y
j25g	66.73	−29.89	83.06	88.28	110		y34l
j50g	54.03	−48.31	63.49	79.78	127		y69l
j75g	44.73	−60.33	42.64	73.88	145		l03c
g00b	47.59	−49.08	15.74	51.54	162		l23c
g25b	49.97	−39.7	−6.72	40.27	190		l55c
g50b	51.85	−32.33	−24.35	40.48	217		l87c
g75b	46.92	−17.29	−36.02	39.96	244		c20v
b00r	37.91	1.28	−42.35	42.37	272		c53v
b25r	23.81	30.38	−52.26	60.45	300		c87v
b50r	29.52	69.06	−42.14	80.9	329		v68m
b75r	36.48	71.47	−3.69	71.57	357		m34o

Ein und Ausgabe: Farbmetrisches Drucker-Reflektiv-System FRS09_92, L*=09_92 für relativen CIELAB-Buntton $h^* = lab^*h^* = h_{ab}/360 = 0.679$ $u^*_\epsilon = g75b$

Daten für jede Farbe:
*lab*tch** und *lab*icu**
Bunttontexte:
$u^*_\epsilon = g75b$ $u^*_d = c20v$
Kontrastreduzierungsfaktor:
$c_R = 1.0$
Dreiecks-Helligkeit t^*

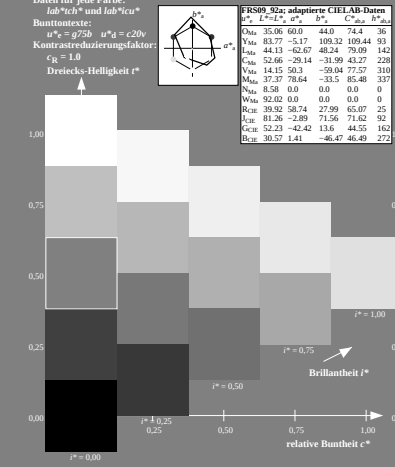

Daten für Maximalfarbe (Ma):
*LAB*LAB**$_{Ma}$: 47 −17 −36
*LAB*LCH**$_{Ma}$: 47 40 244
*lab*rgb**$_{Ma}$: 0.0 0.5 1.0
*lab*olv**$_{Ma}$: 0.0 0.8 1.0
Dreiecks-Helligkeit t^*

%Umfang
u^*_{sp} = 109
%Regularität
$g^*_{H,rel}$ = 31
$g^*_{C,rel}$ = 40

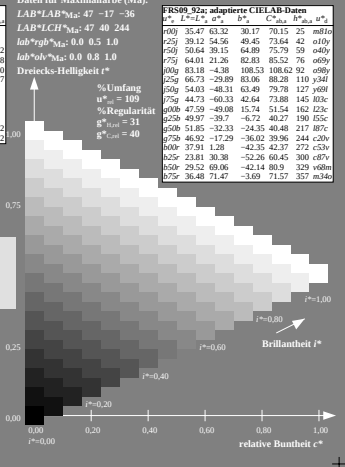

FRS09_92a; adaptierte CIELAB-Daten

	L^*_{CIE}	L^*_{CIE}	a^*_{CIE}	b^*_{CIE}	$C^*_{ab,a}$	$h^*_{ab,a}$	
O_{Ma}	35.06	60.0	44.0	74.4	36		
Y_{Ma}	83.77	−5.17	109.32	109.44	93		
L^*_{Ma}	44.13	−62.67	48.24	79.09	142		
C^*_{Ma}	52.66	−29.14	−31.99	43.27	228		
V_{Ma}	14.15	50.3	−59.04	77.57	310		
M_{Ma}	37.37	78.64	−33.5	85.48	337		
N_{Ma}	8.58	0.0	0.0	0.0	0		
W_{Ma}	92.02	0.0	0.0	0.0	0		
R^*_{CIE}	39.92	58.74	27.99	65.07	25		
I^*_{CIE}	81.26	−2.89	71.56	71.62	92		
C^*_{CIE}	52.23	−42.42	13.6	44.55	162		
B^*_{CIE}	30.57	1.41	−46.47	46.49	272		
r00	35.47	63.32	30.17	70.15	25		m81c
r25j	39.12	54.56	49.45	73.64	42		o10y
r50j	50.64	39.15	64.89	75.79	59		o40y
r75j	64.01	21.26	82.83	85.52	76		o60y
j00g	83.18	−4.38	108.53	108.62	92		o98y
j25g	66.73	−29.89	83.06	88.28	110		y34l
j50g	54.03	−48.31	63.49	79.78	127		y69l
j75g	44.73	−60.33	42.64	73.88	145		l03c
g00b	47.59	−49.08	15.74	51.54	162		l23c
g25b	49.97	−39.7	−6.72	40.27	190		l55c
g50b	51.85	−32.33	−24.35	40.48	217		l87c
g75b	46.92	−17.29	−36.02	39.96	244		c20v
b00r	37.91	1.28	−42.35	42.37	272		c53v
b25r	23.81	30.38	−52.26	60.45	300		c87v
b50r	29.52	69.06	−42.14	80.9	329		v68m
b75r	36.48	71.47	−3.69	71.57	357		m34o

Ein und Ausgabe: Farbmetrisches Drucker-Reflektiv-System FRS09_92, L*=09_92 für relativen CIELAB-Buntton $h^* = lab^*h^* = h_{ab}/360 = 0.755$ $u^*_\epsilon = b00r$

Daten für jede Farbe:
*lab*tch** und *lab*icu**
Bunttontexte:
$u^*_\epsilon = b00r$ $u^*_d = c53v$
Kontrastreduzierungsfaktor:
$c_R = 1.0$
Dreiecks-Helligkeit t^*

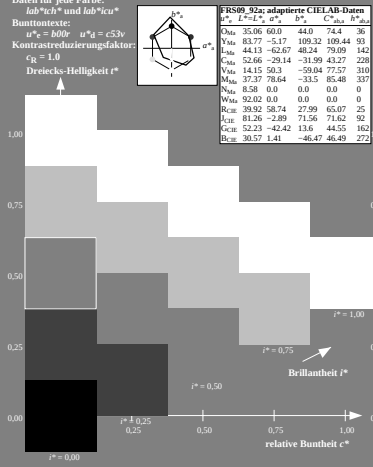

Daten für Maximalfarbe (Ma):
*LAB*LAB**$_{Ma}$: 38 1 −42
*LAB*LCH**$_{Ma}$: 38 42 271
*lab*rgb**$_{Ma}$: 0.0 0.0 1.0
*lab*olv**$_{Ma}$: 0.0 0.47 1.0
Dreiecks-Helligkeit t^*

%Umfang
u^*_{sp} = 109
%Regularität
$g^*_{H,rel}$ = 31
$g^*_{C,rel}$ = 40

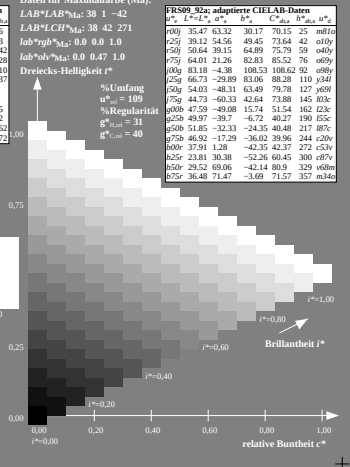

FRS09_92a; adaptierte CIELAB-Daten

	L^*_{CIE}	L^*_{CIE}	a^*_{CIE}	b^*_{CIE}	$C^*_{ab,a}$	$h^*_{ab,a}$	
O_{Ma}	35.06	60.0	44.0	74.4	36		
Y_{Ma}	83.77	−5.17	109.32	109.44	93		
L^*_{Ma}	44.13	−62.67	48.24	79.09	142		
C^*_{Ma}	52.66	−29.14	−31.99	43.27	228		
V_{Ma}	14.15	50.3	−59.04	77.57	310		
M_{Ma}	37.37	78.64	−33.5	85.48	337		
N_{Ma}	8.58	0.0	0.0	0.0	0		
W_{Ma}	92.02	0.0	0.0	0.0	0		
R^*_{CIE}	39.92	58.74	27.99	65.07	25		
I^*_{CIE}	81.26	−2.89	71.56	71.62	92		
C^*_{CIE}	52.23	−42.42	13.6	44.55	162		
B^*_{CIE}	30.57	1.41	−46.47	46.49	272		
r00	35.47	63.32	30.17	70.15	25		m81c
r25j	39.12	54.56	49.45	73.64	42		o10y
r50j	50.64	39.15	64.89	75.79	59		o40y
r75j	64.01	21.26	82.83	85.52	76		o60y
j00g	83.18	−4.38	108.53	108.62	92		o98y
j25g	66.73	−29.89	83.06	88.28	110		y34l
j50g	54.03	−48.31	63.49	79.78	127		y69l
j75g	44.73	−60.33	42.64	73.88	145		l03c
g00b	47.59	−49.08	15.74	51.54	162		l23c
g25b	49.97	−39.7	−6.72	40.27	190		l55c
g50b	51.85	−32.33	−24.35	40.48	217		l87c
g75b	46.92	−17.29	−36.02	39.96	244		c20v
b00r	37.91	1.28	−42.35	42.37	272		c53v
b25r	23.81	30.38	−52.26	60.45	300		c87v
b50r	29.52	69.06	−42.14	80.9	329		v68m
b75r	36.48	71.47	−3.69	71.57	357		m34o

Ein und Ausgabe: Farbmetrisches Drucker-Reflektiv-System FRS09_92, L*=09_92 für relativen CIELAB-Buntton $h^* = lab^*h^* = h_{ab}/360 = 0.834$ $u^*_\epsilon = b25r$

Daten für jede Farbe:
*lab*tch** und *lab*icu**
Bunttontexte:
$u^*_\epsilon = b25r$ $u^*_d = c87v$
Kontrastreduzierungsfaktor:
$c_R = 1.0$
Dreiecks-Helligkeit t^*

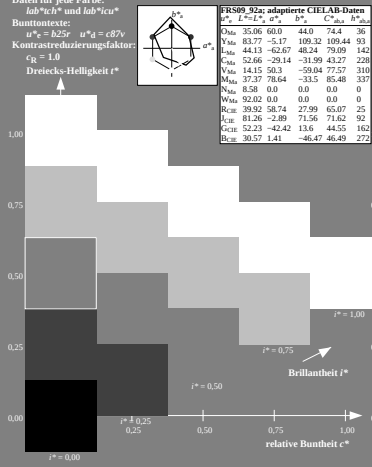

Daten für Maximalfarbe (Ma):
*LAB*LAB**$_{Ma}$: 24 30 −52
*LAB*LCH**$_{Ma}$: 24 60 300
*lab*rgb**$_{Ma}$: 0.5 0.0 1.0
*lab*olv**$_{Ma}$: 0.0 0.12 1.0
Dreiecks-Helligkeit t^*

%Umfang
u^*_{sp} = 109
%Regularität
$g^*_{H,rel}$ = 31
$g^*_{C,rel}$ = 40

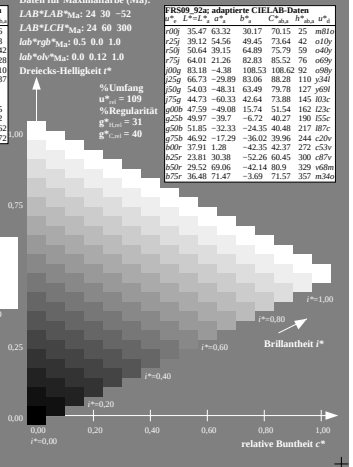

FRS09_92a; adaptierte CIELAB-Daten

	L^*_{CIE}	L^*_{CIE}	a^*_{CIE}	b^*_{CIE}	$C^*_{ab,a}$	$h^*_{ab,a}$	
O_{Ma}	35.06	60.0	44.0	74.4	36		
Y_{Ma}	83.77	−5.17	109.32	109.44	93		
L^*_{Ma}	44.13	−62.67	48.24	79.09	142		
C^*_{Ma}	52.66	−29.14	−31.99	43.27	228		
V_{Ma}	14.15	50.3	−59.04	77.57	310		
M_{Ma}	37.37	78.64	−33.5	85.48	337		
N_{Ma}	8.58	0.0	0.0	0.0	0		
W_{Ma}	92.02	0.0	0.0	0.0	0		
R^*_{CIE}	39.92	58.74	27.99	65.07	25		
I^*_{CIE}	81.26	−2.89	71.56	71.62	92		
C^*_{CIE}	52.23	−42.42	13.6	44.55	162		
B^*_{CIE}	30.57	1.41	−46.47	46.49	272		
r00	35.47	63.32	30.17	70.15	25		m81c
r25j	39.12	54.56	49.45	73.64	42		o10y
r50j	50.64	39.15	64.89	75.79	59		o40y
r75j	64.01	21.26	82.83	85.52	76		o60y
j00g	83.18	−4.38	108.53	108.62	92		o98y
j25g	66.73	−29.89	83.06	88.28	110		y34l
j50g	54.03	−48.31	63.49	79.78	127		y69l
j75g	44.73	−60.33	42.64	73.88	145		l03c
g00b	47.59	−49.08	15.74	51.54	162		l23c
g25b	49.97	−39.7	−6.72	40.27	190		l55c
g50b	51.85	−32.33	−24.35	40.48	217		l87c
g75b	46.92	−17.29	−36.02	39.96	244		c20v
b00r	37.91	1.28	−42.35	42.37	272		c53v
b25r	23.81	30.38	−52.26	60.45	300		c87v
b50r	29.52	69.06	−42.14	80.9	329		v68m
b75r	36.48	71.47	−3.69	71.57	357		m34o

Ein und Ausgabe: Farbmetrisches Drucker-Reflektiv-System FRS09_92, L*=09_92 für relativen CIELAB-Buntton $h^* = lab^*h^* = h_{ab}/360 = 0.913$ $u^*_\epsilon = b50r$

Daten für jede Farbe:
*lab*tch** und *lab*icu**
Bunttontexte:
$u^*_\epsilon = b50r$ $u^*_d = v68m$
Kontrastreduzierungsfaktor:
$c_R = 1.0$
Dreiecks-Helligkeit t^*

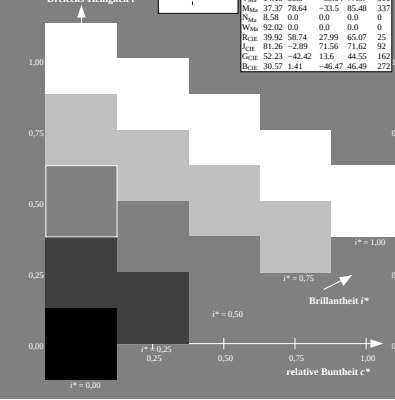

Daten für Maximalfarbe (Ma):
*LAB*LAB**$_{Ma}$: 30 69 −42
*LAB*LCH**$_{Ma}$: 30 81 328
*lab*rgb**$_{Ma}$: 1.0 0.0 1.0
*lab*olv**$_{Ma}$: 0.69 0.0 1.0
Dreiecks-Helligkeit t^*

%Umfang
u^*_{sp} = 109
%Regularität
$g^*_{H,rel}$ = 31
$g^*_{C,rel}$ = 40

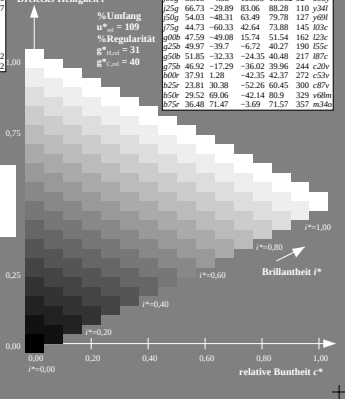

FRS09_92a; adaptierte CIELAB-Daten

	L^*_{CIE}	L^*_{CIE}	a^*_{CIE}	b^*_{CIE}	$C^*_{ab,a}$	$h^*_{ab,a}$	
O_{Ma}	35.06	60.0	44.0	74.4	36		
Y_{Ma}	83.77	−5.17	109.32	109.44	93		
L^*_{Ma}	44.13	−62.67	48.24	79.09	142		
C^*_{Ma}	52.66	−29.14	−31.99	43.27	228		
V_{Ma}	14.15	50.3	−59.04	77.57	310		
M_{Ma}	37.37	78.64	−33.5	85.48	337		
N_{Ma}	8.58	0.0	0.0	0.0	0		
W_{Ma}	92.02	0.0	0.0	0.0	0		
R^*_{CIE}	39.92	58.74	27.99	65.07	25		
I^*_{CIE}	81.26	−2.89	71.56	71.62	92		
C^*_{CIE}	52.23	−42.42	13.6	44.55	162		
B^*_{CIE}	30.57	1.41	−46.47	46.49	272		
r00	35.47	63.32	30.17	70.15	25		m81c
r25j	39.12	54.56	49.45	73.64	42		o10y
r50j	50.64	39.15	64.89	75.79	59		o40y
r75j	64.01	21.26	82.83	85.52	76		o60y
j00g	83.18	−4.38	108.53	108.62	92		o98y
j25g	66.73	−29.89	83.06	88.28	110		y34l
j50g	54.03	−48.31	63.49	79.78	127		y69l
j75g	44.73	−60.33	42.64	73.88	145		l03c
g00b	47.59	−49.08	15.74	51.54	162		l23c
g25b	49.97	−39.7	−6.72	40.27	190		l55c
g50b	51.85	−32.33	−24.35	40.48	217		l87c
g75b	46.92	−17.29	−36.02	39.96	244		c20v
b00r	37.91	1.28	−42.35	42.37	272		c53v
b25r	23.81	30.38	−52.26	60.45	300		c87v
b50r	29.52	69.06	−42.14	80.9	329		v68m
b75r	36.48	71.47	−3.69	71.57	357		m34o

Ein und Ausgabe: Farbmetrisches Drucker-Reflektiv-System FRS09_92, L*=09_92 für relativen CIELAB-Buntton $h^* = lab^*h^* = h_{ab}/360 = 0.992$ $u^*_\epsilon = b75r$

Daten für jede Farbe:
*lab*tch** und *lab*icu**
Bunttontexte:
$u^*_\epsilon = b75r$ $u^*_d = m34o$
Kontrastreduzierungsfaktor:
$c_R = 1.0$
Dreiecks-Helligkeit t^*

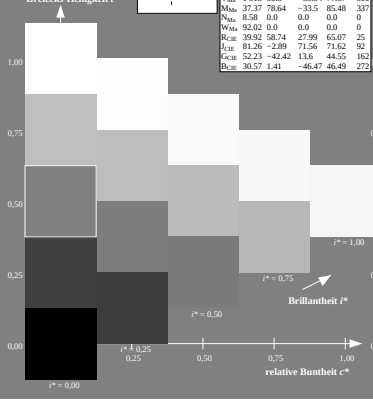

Daten für Maximalfarbe (Ma):
*LAB*LAB**$_{Ma}$: 36 71 −4
*LAB*LCH**$_{Ma}$: 36 72 357
*lab*rgb**$_{Ma}$: 1.0 0.0 0.5
*lab*olv**$_{Ma}$: 1.0 0.0 0.66
Dreiecks-Helligkeit t^*

%Umfang
u^*_{sp} = 109
%Regularität
$g^*_{H,rel}$ = 31
$g^*_{C,rel}$ = 40

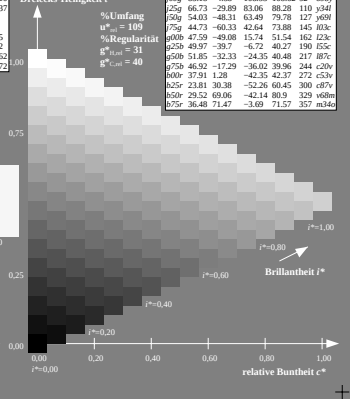

FRS09_92a; adaptierte CIELAB-Daten

	L^*_{CIE}	L^*_{CIE}	a^*_{CIE}	b^*_{CIE}	$C^*_{ab,a}$	$h^*_{ab,a}$	
O_{Ma}	35.06	60.0	44.0	74.4	36		
Y_{Ma}	83.77	−5.17	109.32	109.44	93		
L^*_{Ma}	44.13	−62.67	48.24	79.09	142		
C^*_{Ma}	52.66	−29.14	−31.99	43.27	228		
V_{Ma}	14.15	50.3	−59.04	77.57	310		
M_{Ma}	37.37	78.64	−33.5	85.48	337		
N_{Ma}	8.58	0.0	0.0	0.0	0		
W_{Ma}	92.02	0.0	0.0	0.0	0		
R^*_{CIE}	39.92	58.74	27.99	65.07	25		
I^*_{CIE}	81.26	−2.89	71.56	71.62	92		
C^*_{CIE}	52.23	−42.42	13.6	44.55	162		
B^*_{CIE}	30.57	1.41	−46.47	46.49	272		
r00	35.47	63.32	30.17	70.15	25		m81c
r25j	39.12	54.56	49.45	73.64	42		o10y
r50j	50.64	39.15	64.89	75.79	59		o40y
r75j	64.01	21.26	82.83	85.52	76		o60y
j00g	83.18	−4.38	108.53	108.62	92		o98y
j25g	66.73	−29.89	83.06	88.28	110		y34l
j50g	54.03	−48.31	63.49	79.78	127		y69l
j75g	44.73	−60.33	42.64	73.88	145		l03c
g00b	47.59	−49.08	15.74	51.54	162		l23c
g25b	49.97	−39.7	−6.72	40.27	190		l55c
g50b	51.85	−32.33	−24.35	40.48	217		l87c
g75b	46.92	−17.29	−36.02	39.96	244		c20v
b00r	37.91	1.28	−42.35	42.37	272		c53v
b25r	23.81	30.38	−52.26	60.45	300		c87v
b50r	29.52	69.06	−42.14	80.9	329		v68m
b75r	36.48	71.47	−3.69	71.57	357		m34o

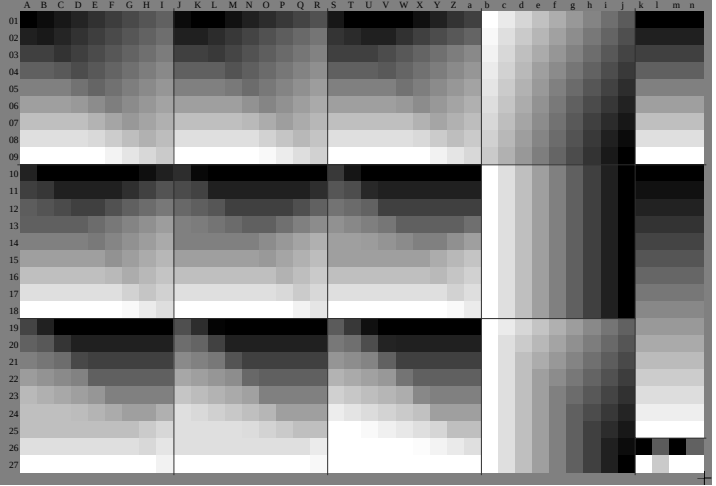
A B C D E F G H I J K L M N O P Q R S T U V W X Y Z a b c d e f g h i j k l m n
01 02 03 04 05 06 07 08 09 10 11 12 13 14 15 16 17 18 19 20 21 22 23 24 25 26